

634.8  
Ф 95

Д.И.Фурса  
С.П.Корсакова  
А.Г.Амирджанов  
В.П.Фурса

**РАДИАЦИОННЫЙ И ГИДРОТЕРМИЧЕСКИЙ  
РЕЖИМ ЮЖНОГО БЕРЕГА КРЫМА  
ПО ДАННЫМ АГРОМЕТЕОСТАНЦИИ  
«НИКИТСКИЙ САД» ЗА 1930-2004 гг.  
И ЕГО УЧЕТ В ПРАКТИКЕ  
ВИНОГРАДАРСТВА**

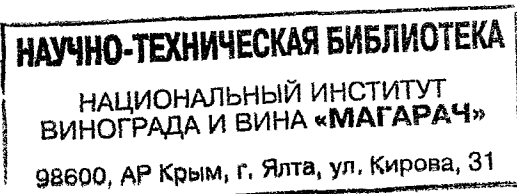
**Ялта 2006**

НАЦИОНАЛЬНЫЙ ИНСТИТУТ ВИНОГРАДА И ВИНА «МАГАРАЧ»  
АГРОМЕТЕОРОЛОГИЧЕСКАЯ СТАНЦИЯ «НИКИТСКИЙ САД»

Д.И.Фурса, С.П.Корсакова, А.Г.Амирджанов, В.П.Фурса

46137

РАДИАЦИОННЫЙ И ГИДРОТЕРМИЧЕСКИЙ РЕЖИМ  
ЮЖНОГО БЕРЕГА КРЫМА ПО ДАННЫМ АГРОМЕТЕОСТАНЦИИ  
«НИКИТСКИЙ САД» ЗА 1930-2004 ГГ.  
И ЕГО УЧЕТ В ПРАКТИКЕ ВИНОГРАДАРСТВА



Ялта 2006

УДК 551.582(083)(477) + 631.6 + 634.8

Печатается по решению Ученого совета НИВиВ «Магарач».

**Д.И.Фурса, С.П.Корсакова, А.Г.Амирджанов, В.П.Фурса**

Радиационный и гидротермический режим Южного берега Крыма по данным агрометеостанции «Никитский сад» за 1930-2004 гг. и его учет в практике виноградарства. - Ялта, 2006 - 54 с.

В работе приводится радиационная и гидротермическая характеристика ЮБК по данным агрометеостанции «Никитский сад» за 1930-2004 гг. Показаны особенности изменения климата в районе агрометеостанции за последние 75 лет. Климатические данные за весь период наблюдений представлены в виде 49 таблиц и 3 рисунков, содержащих информацию об основных метеорологических величинах. Приводятся рекомендации по учету климатических показателей в практике виноградарства.

Издание предназначено для обеспечения различных отраслей народного хозяйства климатической информацией для целей планирования, проектирования, строительства энергетических систем, для научной и практической деятельности, связанной с сельскохозяйственной метеорологией, виноградарством, курортологией, а также будет полезно аспирантам и студентам институтов климатологического, географического и экологического профилей.

Друкується за рішенням Вченого Ради НІВiВ «Магарач».

**Д.І.Фурса, С.П.Корсакова, А.Г.Амирджанов, В.П.Фурса**

Радіаційний і гідротермічний режим Південного берегу Криму за даними агрометеостанції «Нікітський сад» за 1930-2004 рр. і його облік у практиці виноградарства. - Ялта, 2006. - 54 с.

У роботі наведено радіаційна і гідротермічна характеристика ЮБК за даними агрометеостанції «Нікітський сад» за 1930-2004 рр. Показано особливості зміни клімату в районі агрометеостанции за останні 75 років. Кліматичні дані за весь період спостережень представлені у вигляді 49 таблиць і 3 малюнків, що містять інформацію про основні метеорологічні величини. Наведені рекомендації з обліку кліматичних показників у практиці виноградарства.

Видання призначено для забезпечення різних галузей народного господарства кліматичною інформацією для цілей планування, проєктування, будівництва енергетичних систем, для наукової і практичної діяльності, зв'язаної із сільськогосподарською метеорологією, виноградарством, курортологією, а також буде корисно аспірантам і студентам інститутів кліматологічного, географічного й екологічного профілів.

© Д.И.Фурса, 2006

© С.П.Корсакова, 2006

© А.Г.Амирджанов, 2006

© В.П.Фурса, 2006

## СОДЕРЖАНИЕ

ОСНОВНЫЕ ОБОЗНАЧЕНИЯ И СОКРАЩЕНИЯ .....	5
ПРЕДИСЛОВИЕ .....	6
1. РАДИАЦИОННЫЙ РЕЖИМ ЮЖНОГО БЕРЕГА КРЫМА ПО ДАННЫМ АГРОМЕТЕОСТАНЦИИ «НИКИТСКИЙ САД» ЗА 1956-2004 гг.....	7
2. ГИДРОМЕТЕОРОЛОГИЧЕСКИЙ РЕЖИМ ЮЖНОГО БЕРЕГА КРЫМА ПО ДАННЫМ АГРОМЕТЕОСТАНЦИИ «НИКИТСКИЙ САД» ЗА 1930-2004 гг.....	11
3. ТАБЛИЦЫ .....	20
Таблица 1.1. Высота солнца на 15-е число месяца (град.) в районе агрометеостанции «Никитский сад» .....	20
Таблица 1.2. Истинное солнечное время (ч мин) восхода (В), захода (З) солнца и продолжительность (П) дня в районе агрометеостанции «Никитский сад» .....	21
Таблица 1.3. Энергетическая освещенность солнечной радиацией ( $\text{кВт}/\text{м}^2$ ) при ясном небе .....	23
Таблица 1.4. Энергетическая освещенность солнечной радиацией ( $\text{кВт}/\text{м}^2$ ) при средних условиях облачности.....	24
Таблица 1.5. Суммы прямой солнечной радиации ( $\text{МДж}/\text{м}^2$ ) на нормальную к лучу поверхность при ясном небе.....	25
Таблица 1.6. Суммы прямой солнечной радиации ( $\text{МДж}/\text{м}^2$ ) на горизонтальную поверхность при ясном небе.....	25
Таблица 1.7. Суммы прямой солнечной радиации ( $\text{МДж}/\text{м}^2$ ) на нормальную к лучу поверхность при средних условиях облачности .....	26
Таблица 1.8. Суммы прямой солнечной радиации ( $\text{МДж}/\text{м}^2$ ) на горизонтальную поверхность при средних условиях облачности .....	26
Таблица 1.9. Суммы суммарной солнечной радиации ( $\text{МДж}/\text{м}^2$ ) и альбедо деятельной поверхности (%) при средних условиях облачности.....	27
Таблица 1.10. Суммы суммарной солнечной радиации ( $\text{МДж}/\text{м}^2$ ) при ясном небе.....	27
Таблица 1.11. Суммы рассеянной радиации ( $\text{МДж}/\text{м}^2$ ) при средних условиях облачности .....	28
Таблица 1.12. Радиационный баланс деятельной поверхности ( $\text{МДж}/\text{м}^2$ ) при средних условиях облачности.....	28
Таблица 1.13. Месячные и годовые суммы солнечной радиации, эффективного излучения и радиационного баланса ( $\text{МДж}/\text{м}^2$ ) при средних условиях облачности (горизонтальная поверхность).....	29
Таблица 1.14. Продолжительность солнечного сияния (часы) .....	30
Таблица 2.1. Таблица сравнения метеорологических элементов по данным наблюдений на метеоплощадках метеостанций «Никитский сад» (высота 92 м н.у.м.) и «Мартъян» (высота 208 м н.у.м.) .....	31
Таблица 2.2. Средняя месячная и годовая температура воздуха $^{\circ}\text{C}$ .....	32
Таблица 2.3. Средняя месячная и годовая температура воздуха ( $^{\circ}\text{C}$ ) по десятилетним периодам .....	33
Таблица 2.4. Максимальная температура воздуха за различные периоды ( $^{\circ}\text{C}$ ) .....	33
Таблица 2.5. Среднее многолетнее число дней с максимальной температурой воздуха ( $^{\circ}\text{C}$ ) разных интервалов в теплый период .....	34
Таблица 2.6. Минимальная температура воздуха ( $^{\circ}\text{C}$ ) за различные периоды .....	35
Таблица 2.7. Число дней с морозом.....	36
Таблица 2.8. Даты первого и последнего заморозка в воздухе и продолжительность безморозного периода .....	36
Таблица 2.9. Даты первого и последнего заморозка на поверхности почвы и продолжительность безморозного периода .....	36
Таблица 2.10. Климатическая характеристика теплого периода.....	37

Таблица 2.11. Средние многолетние суммы активных температур воздуха ( $^{\circ}\text{C}$ ) выше 5, 10, 15 и $20^{\circ}\text{C}$ нарастающим итогом на последний день месяца .....	38
Таблица 2.12. Средние многолетние суммы эффективных температур воздуха ( $^{\circ}\text{C}$ ) выше 5, 10, 15 и $20^{\circ}\text{C}$ нарастающим итогом на последний день месяца .....	38
Таблица 2.13. Средняя месячная температура воздуха ( $t_{\text{ср}}$ ) и суммы средних суточных температур выше $10^{\circ}\text{C}$ ( $\sum t_a > 10^{\circ}\text{C}$ ) нарастающим итогом в течение активной вегетации на высотах 92 и 208 м над уровнем моря .....	38
Таблица 2.14. Обеспеченность (%) сумм активных температур воздуха выше $10^{\circ}\text{C}$ , необходимых для различной специализации виноградно-винодельческой промышленности в районе агрометеостанции «Никитский сад» на высотах 92 и 208 м над уровнем моря .....	39
Таблица 2.15. Средняя многолетняя температура поверхности почвы, $^{\circ}\text{C}$ .....	39
Таблица 2.16. Средняя месячная температура почвы ( $^{\circ}\text{C}$ ) на различной глубине (по Савиновским термометрам).....	40
Таблица 2.17. Средняя месячная температура почвы ( $^{\circ}\text{C}$ ) на различной глубине (по вытяжным термометрам) .....	40
Таблица 2.18. Многолетняя характеристика глубины промерзания почвы (см) (по визуальным наблюдениям) .....	41
Таблица 2.19. Средняя многолетняя месячная и годовая абсолютная влажность воздуха .....	41
Таблица 2.20. Средняя многолетняя месячная и годовая относительная влажность воздуха.....	41
Таблица 2.21. Число дней с туманом и относительной влажностью воздуха $\geq 80\%$ .....	42
Таблица 2.22. Число дней с относительной влажностью воздуха $\leq 30\%$ .....	43
Таблица 2.23. Средний месячный и годовой дефицит влажности воздуха (г/Па) .....	43
Таблица 2.24. Месячное и годовое количество осадков, (мм).....	44
Таблица 2.25. Среднее число дней с различным количеством осадков.....	45
Таблица 2.26. Наибольшее суточное количество осадков (мм) по месяцам и за год.....	46
Таблица 2.27. Число случаев очень сильных дождей с суточным количеством осадков различной величины.....	46
Таблица 2.28. Средняя из максимальных высота снежного покрова ( $h_{\text{ср}}$ ), абсолютная высота снежного покрова ( $h_{\text{max}}$ ), среднее ( $n_{\text{ср}}$ ) и максимальное ( $n_{\text{max}}$ ) количество дней со снежным покровом за декаду .....	46
Таблица 2.29. Повторяемость (%) направления ветра и штилей (1931-2004 гг.).....	47
Таблица 2.30. Средняя месячная, годовая скорость ветра (м/с) и их среднее квадратичное отклонение .....	47
Таблица 2.31. Средняя месячная и годовая скорость ветра (м/с) различных направлений (1931-1980, 1997-2004 гг.) .....	48
Таблица 2.32. Число случаев с ветром, скорость которого достигала значения СГЯ.....	48
Таблица 2.33. Максимальные скорость и порывы ветра (м/с).....	49
Таблица 2.34. Среднее ( $N_{\text{ср}}$ ) и максимальное ( $N_{\text{max}}$ ) число дней со скоростью ветра различных градаций .....	50
Таблица 2.35. Максимальная скорость из средних и порывы ветра (м/с) по анеморумбометру 1978-2004 гг.....	50
Рис. 1. Температура воздуха ( $^{\circ}\text{C}$ ) за последние 75 лет в районе агрометеостанции «Никитский сад» .....	51
Рис. 2. Суммы активных температур воздуха $> 10^{\circ}\text{C}$ за последние 75 лет в районе агрометеостанции «Никитский сад» .....	52
Рис. 3. Суммы осадков (мм) за последние 75 лет в районе агрометеостанции «Никитский сад» .....	53
<b>СИСТОК ЛИТЕРАТУРЫ.....</b>	54

## ОСНОВНЫЕ ОБОЗНАЧЕНИЯ И СОКРАЩЕНИЯ

ВНИИВиВ	- Всесоюзный научно-исследовательский институт виноградарства и виноделия
гПа	- гектопаскаль
кВт/м <sup>2</sup>	- киловатт на квадратный метр
МДж/м <sup>2</sup>	- мегаджоули на квадратный метр
мм	- миллиметр
СИ	- Международная система единиц
ФАР	- фотосинтетически активная радиация
ЮБК	- Южный берег Крыма
А <sub>к</sub>	- альbedo деятельной поверхности
В	- радиационный баланс
B <sub>d</sub>	- эффективное излучение земной поверхности
B <sub>k</sub>	- поглощенная солнечная радиация
C <sub>в</sub>	- коэффициент вариации
D	- рассеянная солнечная радиация
i	- угол падения солнечных лучей на поверхность склона
Q	- суммарная солнечная радиация
S, S'	- прямая солнечная радиация на горизонтальную и вертикальную поверхность
Sc	- прямая солнечная радиация на наклонную поверхность
σ	- среднее квадратическое отклонение
t <sub>max</sub>	- абсолютный максимум температуры воздуха
t <sub>min</sub>	- абсолютный минимум температуры воздуха
t <sub>ср</sub>	- средняя за месяц температура воздуха

## ПРЕДИСЛОВИЕ

Климатическая информация, как и сведения о других природных ресурсах, необходима для различных отраслей народного хозяйства и научных исследований. Она может быть использована для текущего и перспективного планирования, для агроклиматического районирования сельскохозяйственных культур, особенно в области виноградарства и плодоводства, а также в курортологии и биоклиматическом обосновании зон отдыха и туризма.

В настоящем издании приводятся метеорологические и агроинометрические данные агрометеостанции «Никитский сад» за 75 лет, с 1930 по 2004 гг. Агрометеорологическая станция «Никитский сад» расположена на Южном берегу Крыма и ее гидрометеорологическая информация вполне representativeна для основной зоны произрастания высококачественного винограда, субтропических, южных плодовых и эфирномасличных культур. Агрометеостанция «Никитский сад» входит в список референтных метеорологических станций Украины и ее метеорологическая площадка согласно Закону «О гидрометеорологической деятельности» не может быть закрыта или перенесена, а в охранной зоне станции запрещается любое строительство.

Материалы наблюдений станции представлены в виде таблиц, в которых приведены средние и экстремальные значения метеорологических элементов за различные периоды наблюдений и даны их средние квадратические отклонения. В работе также приведена радиационная характеристика территории по всем видам солнечной радиации, дана оценка гидротермического режима и примеры его учета в практике виноградарства.

Авторы издания выражают глубокую признательность всем поколениям метеорологов, которые днем и ночью, в жару и ливни, в мороз и ветер проводили гидрометеорологические наблюдения, и благодарят коллег-метеорологов Антонникову Л.А., Мисюру Н.В., Процик В.Ф., Майстренко Н.А., Скрипникову Н.А., Решетниченко В.Н. за первичную выборку метеорологических элементов.

# 1. РАДИАЦИОННЫЙ РЕЖИМ ЮЖНОГО БЕРЕГА КРЫМА ПО ДАННЫМ АГРОМЕТЕОСТАНЦИИ «НИКИТСКИЙ САД» ЗА 1956-2004 ГГ.

Солнечная радиация является важнейшим фактором продукционного процесса всей растительности. К.А. Тимирязев подчеркивал, что предел плодородия данной площади земли определяется в основном не количеством внесенных удобрений или количеством влаги, а количеством световой энергии, которую посыпает на данную поверхность солнце [9]. Влиянию солнечной радиации на продуктивность винограда в Крыму посвящены монографии А.И. Амирджанова и Д.И. Фурса [1, 11]. В связи с тем, что солнечная радиация оказывает существенное влияние на качество винограда и продуктов его переработки, для ученых и практиков большой интерес будет представлять характеристика радиационного режима Южного берега Крыма (ЮБК), выполненная на основе актинометрических наблюдений за последние 50 лет.

В литературе очень мало данных о режиме солнечной радиации на ЮБК. Последняя работа [2] была опубликована в 1969 г., в которой в основном приводятся среднемесячные показатели радиационного режима за 1956-1965 гг. при средних условиях облачности. Для более полной характеристики радиационного режима ЮБК нами использованы материалы актинометрических наблюдений агрометеостанции «Никитский сад» за 1956-2004 гг. Станция расположена на высоте 208 м над уровнем моря, широта  $44^{\circ}31'$ , долгота  $34^{\circ}15'$ . В работе приведены средние многолетние значения энергетической освещенности, часовых, суточных, месячных и годовых сумм радиации, и некоторые характеристики временной изменчивости сумм радиации. Знание средней величины различных видов радиации ( $\bar{x}$ ) и их среднеквадратического отклонения ( $\sigma$ ) позволяет представить весь спектр изменчивости элемента. Известно, что в интервале  $\bar{x} \pm 3\sigma$  укладывается 99 % всех встречающихся значений элемента. Вычитая или прибавляя к средней величине уточненное значение среднего квадратического отклонения, можно получить его минимум или максимум. Отношение среднего квадратического отклонения к средней многолетней месячной сумме данного вида радиации - коэффициент вариации ( $C_v$ ) – является удобным показателем при сравнении временной изменчивости одного вида радиации с другим и по сезонам.

Энергетическая освещенность и суммы радиации выражены в единицах международной системы СИ: освещенность – в киловаттах на квадратный метр ( $\text{kVt}/\text{m}^2$ ), суммы радиации (годовая, месячная, суточная и часовую – в мега джоулях на квадратный метр ( $\text{МДж}/\text{m}^2$ ). Если часовую сумму радиации, выраженную в  $\text{МДж}/\text{m}^2$ , разделить на 3.6, то получим среднюю часовую освещенность в  $\text{kVt}/\text{m}^2$ .

Как известно, количество тепла, получаемого земной поверхностью от солнца, зависит, прежде всего, от продолжительности дня и высоты солнца над горизонтом. Для широты агрометеостанции высота солнца над горизонтом в сроки актинометрических наблюдений приведена в табл. 1.1. Например, в декабре в околополуденные часы она равна  $21.7^{\circ}$ , в июне –  $67.5^{\circ}$ . О продолжительности дня в районе агрометеостанции «Никитский сад» можно судить по данным табл. 1.2. В табл. 1.2 помещено время восхода и захода солнца на каждый день месяца по истинному солнечному времени, и продолжительность дня. Чтобы перейти от истинного солнечного времени к киевскому летнему, необходимо к времени, указанному в табл. 1.2, прибавить 43 мин, а к зимнему киевскому времени – отнять 17 мин. За время восхода (захода) солнца в метеорологии принимается момент появления над горизонтом (исчезновение под горизонтом) верхнего края диска солнца.

Максимальная продолжительность дня в районе агрометеостанции «Никитский сад» наблюдается с 13 по 30 июня и составляет 15.32 часа, минимальная – 8.50 часа с 19 по 28 декабря. По времени восхода и захода солнца можно определить возможную продолжительность солнечного сияния. Освещение земной поверхности рассеянным светом после того, как солнце зашло за горизонт, называют вечерними сумерками, а перед тем, как оно взойдет – утренними сумерками. Под термином сумерки понимают также самый промежуток времени, переходной от дня к ночи или от ночи ко дню. Гражданскими сумерками называют промежуток времени, в течение которого солнце остается под горизонтом не ниже  $6-8^{\circ}$ . Их конец вечером совпадает с исчезновением светлой желтой окраски неба у западного горизонта. Продолжительность гражданских сумерек примерно полчаса.

В табл 13 и 14 приведены средние значения энергетической освещенности прямой  $S$ ,  $S'$ , рассеянной  $D$ , суммарной  $Q$  радиацией, радиационного баланса В при ясном небе и средних условиях облачности в актинометрические сроки наблюдений Средние значения  $S$ ,  $D$ ,  $Q$ ,  $V$  при ясном небе в исследуемом районе представляют собой наиболее высокие значения прямой, суммарной радиации, радиационного баланса и наиболее низкие значения рассеянной радиации при средней прозрачности атмосферы Данные табл 13, 14 дают представления об изменении солнечной радиации от срока к сроку и в течение года Их можно использовать для построения кривой суточного хода радиации при разных условиях облачности. По этим данным также можно определить приход прямой солнечной радиации на наклонную поверхность (склон)  $S_c$  по формуле  $S_c = S \cos i$ , где  $i$  – угол падения солнечных лучей на поверхность склона При средних условиях облачности энергетическая освещенность прямой солнечной радиации на горизонтальную поверхность ( $S'$ ) в околополуденные часы на ЮБК возрастает от  $0.21 \text{ кВт}/\text{м}^2$  в декабре до  $0.57 \text{ кВт}/\text{м}^2$  в июне-августе, при ясном небе  $S$  изменяется от  $30 \text{ кВт}/\text{м}^2$  в декабре до  $0.78 \text{ кВт}/\text{м}^2$  в июне (табл 13, 14) Из семи месяцев, пригодных для гелиотерапии (апрель-октябрь), солнечные ванны в околополуденные часы могут быть при интенсивной солнечной радиации (более  $70 \text{ кВт}/\text{м}^2$ ) с апреля по август Поэтому большее практическое значение приобретают различные сооружения–тенты, экраны, ослабляющие энергетическую освещенность солнца В табл 15-12 представлены суммы прямой радиации (на перпендикулярную  $S$  и горизонтальную  $S'$  поверхность), суммы суммарной  $Q$  радиации, рассеянной  $D$  и радиационного баланса  $V$  за час, сутки, месяц и год, а также среднее месячное и среднее годовое альбедо А деятельной поверхности Расчеты сделаны для условий ясного неба и средней облачности При сравнении этих видов данных по каждому виду радиации можно получить представление о степени ослабления радиации облаками в районе агрометеостанции Так, приход суммарной радиации на ЮБК при средних условиях облачности (табл 19) составляет  $4893 \text{ МДж}/\text{м}^2$  в год или 71 % от возможного при ясном небе (табл 110) Суточные суммы суммарной солнечной радиации при средних условиях облачности приходящие на земную поверхность в июне-августе составляют  $21,00-23,84 \text{ МДж}/\text{м}^2$  при ясном небе они увеличиваются до  $24,48-29,50 \text{ МДж}/\text{м}^2$  В суточном ходе

максимальный приход суммарной солнечной радиации при средних условиях облачности наблюдается в июле с 11 до 13 ч, составляя  $2,76 \text{ МДж}/\text{м}^2$ , при ясном небе он увеличивается до  $3,32 \text{ МДж}/\text{м}^2$ , но наблюдается это в июне (за счет большей высоты солнца над горизонтом)(табл. 1.9, 1.10). Радиационный баланс на Южном берегу Крыма имеет хорошо выраженный суточный ход (табл. 1.12). Максимальные значения радиационного баланса в околополуденные часы (с 11 до 13 ч) при средних условиях облачности наблюдаются в июле и достигают  $1,84 \text{ МДж}/\text{м}^2$  за час, но в ночное время он понижается до  $-0,20 \text{ МДж}/\text{м}^2$  Минимальные значения радиационного баланса при средних условиях облачности в околополуденные часы наблюдаются в декабре и поникаются до  $0,36 \text{ МДж}/\text{м}^2$  Радиационный баланс в течение суток в летние месяцы положителен с 5 до 18 ч (в июне до 19 ч), в зимние месяцы и в ноябре он положителен только с 8 до 16 ч, весной – с 6-7 ч до 18 ч, в сентябре и октябре – с 7 до 17 ч В среднем за сутки радиационный баланс положителен в течение всего года и изменяется от  $0,08 \text{ МДж}/\text{м}^2$  в декабре до  $12,46 \text{ МДж}/\text{м}^2$  в июне (табл 1.12)

Таблицы 1.5-1.12 составлены по данным приборов для регистрации поступающей солнечной радиации Регистрация солнечной радиации приборами проводилась на агрометеостанции «Никитский сад» с 1965 по 1994 гг с небольшими перерывами Поэтому для более полной характеристики радиационного режима в районе агрометеостанции были рассчитаны месячные значения различных видов солнечной радиации по данным срочных наблюдений за 1956-2004 гг (табл 1.13). Средние месячные и годовые суммы радиации, определенные по срочным наблюдениям, хорошо согласуются с данными самопищущих приборов (ошибка составляет около 4-5 %).

Прямая солнечная радиация,  $S$  В среднем за год горизонтальная земная поверхность в районе агрометеостанции «Никитский сад» получает прямого солнечного тепла  $2717 \text{ МДж}/\text{м}^2$  Максимум его -  $3291 \text{ МДж}/\text{м}^2$ , наблюдался в 1990 г, минимум –  $2095 \text{ МДж}/\text{м}^2$  – в 1987 г. Если рассмотреть приход прямой солнечной радиации по десятилетиям, начиная с 1961 г., то больше всего прямой солнечной радиации поступало на земную поверхность в 1961-1970 гг и в 1991-2000 гг – в среднем  $2826-2838 \text{ МДж}/\text{м}^2$  и меньше всего в 1981-1990 гг –  $2539 \text{ МДж}/\text{м}^2$ . Заметным колебаниям подвержены также месячные суммы прямой солнечной радиации В отдельные годы их значе-

ния отклоняются от средней многолетней: в летние месяцы на 10-40 %, в зимние - на 50-120%. В условиях ЮБК прямая солнечная радиация имеет ярко выраженный годовой ход (табл. 1.13). Максимум прямой солнечной радиации при средних условиях облачности наблюдается в июле и достигает  $462 \text{ МДж}/\text{м}^2$ , минимум - в декабре -  $40 \text{ МДж}/\text{м}^2$ . Весной земная поверхность в районе агрометеостанции «Никитский сад» получает тепла больше, чем осенью. За период активной вегетации растений (май-сентябрь) на Южном берегу Крыма  $1 \text{ м}^2$  земной поверхности в среднем получает более  $1914 \text{ МДж}/\text{м}^2$ . Заметные различия в притоке прямой солнечной радиации наблюдаются в периоды весеннего (март) и осеннего (сентябрь) равноденствия. При одинаковых высотах солнца в марте сумма тепла прямой радиации составляет  $157 \text{ МДж}/\text{м}^2$ , сентябре  $289 \text{ МДж}/\text{м}^2$ . Эти различия в поступлении прямой солнечной радиации на земную поверхность при одинаковом астрономическом положении солнца обуславливаются в основном погодными условиями.

**Суммарная радиация,  $Q$ .** Суммарная радиация представляет собой поток тепла, который несут на земную поверхность прямые и рассеянные солнечные лучи. В годовом ходе величина суммарной радиации увеличивается с увеличением высоты солнца над горизонтом. Месячные суммы суммарной радиации при средних условиях облачности на ЮБК изменяются от  $97 \text{ МДж}/\text{м}^2$  в декабре до  $704 \text{ МДж}/\text{м}^2$  в июле (табл. 1.13). В отдельные годы максимум суммарной радиации в июле перемещается на июнь. Среднегодовая величина суммарной радиации составляет  $4642 \text{ МДж}/\text{м}^2$  с колебанием в отдельные годы от  $4045 \text{ МДж}/\text{м}^2$  до  $5610 \text{ МДж}/\text{м}^2$ . Величина суммарной радиации, как и рассеянной, зависит не только от количества облаков, но и от их формы. Максимальное её значение отмечается при перистых облаках, минимальное - при сплошных кучево-дождевых облаках и туманах.

**Рассеянная радиация,  $D$ .** Энергетическая освещенность рассеянной радиации зависит в основном от высоты стояния солнца над горизонтом и прозрачности атмосферы. На величину рассеянной радиации большое влияние оказывает облачность [6]. Наибольший поток рассеянной радиации наблюдается при перисто-слоистых и высококучевых облаках. Увеличение мощности облаков резко уменьшает энергетическую освещенность рассеянной радиации. При слоисто-дождевых и кучево-дождевых облаках приход рассеянной радиа-

ции резко падает. По сравнению с прямой рассеянная радиация имеет более плавный годовой ход. Средняя величина ее за год на ЮБК равна  $1925 \text{ МДж}/\text{м}^2$  (табл. 1.13), что составляет 41 % всего тепла, поступающего на данную территорию. Зимой, когда преобладает облачная погода, рассеянная радиация является главным источником тепла на ЮБК. В годовом ходе максимум рассеянной радиации ( $255 \text{ МДж}/\text{м}^2$ ) отмечается в мае, когда на Южном берегу часто наблюдаются дымки и туманы. В вегетационное время для большей части растений, находящихся в собственной тени, рассеянная радиация является основным источником энергии фотосинтеза.

**Альбедо,  $A_k$  и поглощенная радиация,  $B_k$ .** Приходящая на земную поверхность солнечная радиация поглощается ею в той или иной степени в зависимости от отражательной способности поверхности или от её альбедо  $A_k$ . За год на рассматриваемой территории деятельной поверхностью отражается в среднем  $939 \text{ МДж}/\text{м}^2$  (табл. 1.13) или 20% поступающей солнечной радиации. Альбедо земной поверхности сильно зависит от местных условий, влажности, цвета и степени шероховатости поверхности. Характерной особенностью годового хода  $A_k$  является довольно устойчивые его значения (19-20 %) в теплый период и значительная изменчивость в холодный, когда временами появляется снежный покров. За вычетом отраженной радиации, подстилающая поверхность на ЮБК в течение года поглощает  $3703 \text{ МДж}/\text{м}^2$  или 80 % поступающей солнечной радиации. Годовой ход поглощенной радиации  $B_k$  обуславливается главным образом изменениями значений суммарной радиации и альбедо. Минимальные месячные значения поглощенной радиации ( $75-83 \text{ МДж}/\text{м}^2$ ) бывают в декабре-январе, максимальные ( $502-571 \text{ МДж}/\text{м}^2$ ) в июне-августе.

**Эффективное излучение,  $B_d$ .** Земная поверхность не только поглощает тепло, но и излучает его. Ночью, когда солнце находится за горизонтом, излучение приводит к понижению температуры почвы и воздуха. Иногда потери тепла за счет излучения в ясные ночи бывают настолько велики, что на поверхности почвы и в воздухе возникают заморозки. При пасмурной погоде эффективное излучение уменьшается и уменьшается вероятность заморозков. В течение года подстилающая поверхность на ЮБК теряет через излучение в среднем  $1536 \text{ МДж}/\text{м}^2$  или около 41 % количества поглощенной радиации. В соответствии с поступлением тепла, преобладанием ясной погоды, мак-

максимальные месячные суммы эффективного излучения отмечены в легкие месяцы. В зимнее время, вследствие уменьшения притока тепла от солнца и увеличения облачности, месячные суммы эффективного излучения падают до минимума (табл. 1.13).

Радиационный баланс, В. Распределение радиационного баланса определяется совокупным влиянием всех факторов, от которых зависят его составляющие: суммарной радиации, альбедо, эффективного излучения подстилающей поверхности. Месячные минимальные значения его наблюдаются в декабре и поникаются до  $-2 \text{ МДж}/\text{м}^2$ . В январе, феврале радиационный баланс постепенно растет, в марте увеличивается до 133  $\text{МДж}/\text{м}^2$  и достигает максимума в июне-июле ( $386\text{-}395 \text{ МДж}/\text{м}^2$ ). За год величина радиационного баланса при средних условиях облачности составляет на ЮБК 2167  $\text{МДж}/\text{м}^2$ .

Для установления верхнего предела урожая сельскохозяйственных культур необходимы сведения о фотосинтетически активной радиации (ФАР), поступающей на подстилающую поверхность в исследуемом районе. Поэтому, по данным прямой и рассеянной радиации и методике Х.Г.Тооминга [10] нами были рассчитаны средние месячные значения ФАР для ЮБК (табл. 1.13). За год эта величина составляет 2245  $\text{МДж}/\text{м}^2$ , за период активной вегетации (V-IX) – 1463  $\text{МДж}/\text{м}^2$ .

Одной из характеристик радиационного режима является продолжительность солнечного сияния (ПСС), которая определяется астрономическими фактограмами и режимом облачности. Значения средней многолетней ПСС по декадам, месяцам и за год получены непосредственно путем подсчета фактических данных за весь период наблюдений с 1930 по 2004 гг. (табл. 1.14). Среднее квадратичное отклонение ПСС характеризует изменчивость солнечного сияния от года к году, т.е. рассеяние по годич-

ных данных относительно средней многолетней. Отношение наблюдавшейся продолжительности солнечного сияния  $t_n$  к теоретически возможной  $t_b$  (от восхода до захода солнца при ясном небе) вычислено по выражению  $SS=t_n/t_b$  и приведено в табл. 1.14. Южный берег Крыма относится к числу наиболее солнечных районов Украины. Годовая продолжительность солнечного сияния в районе агрометеостанции «Никитский сад» в среднем за 1930-2004 гг. составила 2265 ч. В дополнение к многолетней ПСС за весь период наблюдений вычислены средние по 30-летним периодам с 1931 по 1960 гг. и с 1961 по 1990 гг. Средняя по 30-летнему периоду за 1931-1960 гг. заметно отличается от общей средней, она меньше на 40 ч (табл. 1.14) и на 67 ч меньше, чем за период 1961-1990 гг. Это связано с большим количеством облачности и пасмурных дней в первый 30-летний период. Максимальная продолжительность солнечного сияния приходится на июль и достигает 330 ч. Минимальные значения ПСС в годовом ходе наблюдаются в декабре (74 ч), что вызвано наименьшей продолжительностью дня и значительной в это время облачностью. Весной, с увеличением продолжительности дня, ПСС возрастает с 142 ч в марте до 247 ч в мае. Осенью, с уменьшением дня и увеличением облачных дней, ПСС изменяется от 247 ч в сентябре до 106 ч в ноябре. В суточном ходе максимальная ПСС зимой приходится на 13-16 ч, летом – с 10 до 13 ч.

Из изложенного следует, что на территорию Южного берега Крыма поступает значительное количество солнечной энергии, которая позволяет оптимально решить проблему повышения урожайности сельскохозяйственных культур и использовать данные радиационного режима при строительстве гелиотехнических установок.

## 2. ГИДРОМЕТЕОРОЛОГИЧЕСКИЙ РЕЖИМ ЮЖНОГО БЕРЕГА КРЫМА ПО ДАННЫМ АГРОМЕТЕОСТАНЦИИ «НИКИТСКИЙ САД» ЗА 1930-2004 гг. И ЕГО УЧЕТ В ПРАКТИКЕ ВИНОГРАДАРСТВА

Изучение климата Южного берега Крыма (ЮБК) началось со дня основания Никитского ботанического сада (1812 г.). Вначале наблюдения за погодой носили эпизодический характер, но с развитием селекционных работ, интродукцией новых растений назрела необходимость иметь постоянные данные о погоде и климате. Поэтому в 1890 г. в уроцище Магарач была открыта стационарная метеорологическая станция. Метеорологическая станция «Магарач» работала до 1967 г. при ВНИИВиВ «Магарач». Непосредственно в Никитском саду метеорологическая станция была открыта в 1909 г. между Нижним парком и вновь создаваемым Приморским. Станция была расположена в долине у ворот Нижнего парка на высоте 92 м над уровнем моря, широта  $44^{\circ}31'$ , долгота  $34^{\circ}14'$ , и называлась метеорологическая станция «Никитский сад». В 1929 г. метеостанция была перенесена на юго-юго-западный склон возвышенности Мартъян, высота 208 м над уровнем моря, широта  $44^{\circ}32'$ , долгота  $34^{\circ}15'$ , и стала называться метеостанция «Мартъян» (с 1937 г. – агрометеостанция «Никитский сад»). В 1929-1931 гг. проводились параллельные наблюдения на обеих метеоплощадках. Это позволило найти поправки к метеоэлементам для приведения данных метеоплощадки «Мартъян» к более длинному ряду наблюдений. Сравнение метеорологических данных на метеоплощадках «Никитский сад» и «Мартъян» (табл. 2.1) показало, что из-за превышения высоты над уровнем моря на 116 м, среднемесячная температура воздуха в течение всего года выше на метеоплощадке «Никитский сад». В среднем за год это превышение составляет  $0,8^{\circ}\text{C}$ . Максимальная температура воздуха на высоте 92 м над уровнем моря выше, чем на высоте 208 м на  $1,3^{\circ}\text{C}$ , а по минимальной температуре воздуха – теплее на  $0,5^{\circ}\text{C}$ . Абсолютная влажность воздуха всегда выше на метеоплощадке метеостанции Никитский сад, а относительная влажность воздуха примерно одинакова. Осадков выпадает преимущественно больше в районе метеоплощадки «Мартъян». За 1930 г. сумма осадков по данным метеостанции «Мартъян» составила 424 мм, а на метеоплощадке у нижнего круга – 411 мм. Имея поправки, приведенные в табл. 1, и материалы наблюдений агрометостанции «Никитский сад» за 1931-2004 гг., можно с вполне до-

пустимой погрешностью восстановить метеорологические данные на высоте 92 м над уровнем моря за эти годы.

В работе Е.Н.Зац «Характеристика климатических условий в Никитском ботаническом саду» [3] использовались данные наблюдений агрометеостанции «Никитский сад» за 1930-1958 гг. В настоящее время агрометеостанция располагает 75-летним рядом наблюдений (1930-2004 гг.), достаточным для вычисления климатических норм в районе станции. Помещенные в статье климатические данные могут быть использованы для всей территории ботанического сада с соответствующей поправкой на микрорельеф. Микроклиматическое описание всей территории достаточно полно сделано в работах Ю.Е.Судакевича [8] и других авторов [12, 13].

Температура воздуха и почвы. При анализе данных по температуре средняя суточная температура воздуха за 1930-2004 гг., рассчитанная из трех и четырех сроков наблюдений, была приведена к средней температуре за 24 ч путем введения поправок. Поправка представляет собой разность между средней температурой за 24 ч, полученной по ежечасным данным термографа, и средней за три-четыре срока; к температурам, вычисленным по восьмисрочным наблюдениям (1966-2004 гг.), поправка не вводилась. Среднегодовая температура воздуха за 1930-2004 гг. в районе агрометеостанции составила  $12,4^{\circ}\text{C}$ , с колебаниями в отдельные годы от  $10,8^{\circ}\text{C}$  (1956 г.) до  $14,0^{\circ}\text{C}$  (1966 г.). В статье Зац Е.Н. [3] среднегодовая температура воздуха за 1930-1958 гг. тоже равнялась  $12,4^{\circ}\text{C}$ . В табл. 2.2, 2.3 приводится многолетняя средняя месячная и годовая температура воздуха, вычисленная за 1930-2004 гг., а также за 30-летние периоды (1931-1960 гг. и 1961-1990 гг.), принятые ВМО и по десятилетиям, начиная с 1931 г. Средняя месячная температура воздуха в описываемом районе в течение года положительна. Это обусловлено естественной защищенностью ЮБК горами от вторжения холодных масс с севера и северо-востока. В январе и феврале ее значение составляет  $3,1^{\circ}\text{C}$ , в июле и августе –  $23,2-23,0^{\circ}\text{C}$ . Годовая амплитуда температур (разница между средней температурой наиболее теплого и наиболее холодного месяца) составляет  $20,1^{\circ}\text{C}$ . Самая низкая средняя месячная температура за

все годы наблюдений ( $-2,5^{\circ}\text{C}$ ) отмечена в феврале 1954 г., самая высокая -  $27,4^{\circ}\text{C}$  – в июле 2001 г. Из двух 30-летних периодов период с 1931 по 1960 гг. был более прохладным по отношению ко всему периоду наблюдений, особенно с января по май, когда средние месячные температуры были ниже многолетней температуры за весь период инструментальных наблюдений на  $0,1\text{--}0,5^{\circ}\text{C}$ . В среднем за год температура воздуха в этот период равнялась  $12,3^{\circ}\text{C}$ . Период с 1961 по 1990 гг. был более теплым с ноября по май и прохладным с июля по октябрь. По десятилетиям самая высокая средняя годовая температура воздуха была в 1961–1970 гг. и равнялась  $12,7^{\circ}\text{C}$ , самая низкая  $12,1^{\circ}\text{C}$  – в 1941–1950 гг.

В годовом ходе наиболее интенсивное повышение температуры наблюдается от марта к апрелю (на  $5,1^{\circ}\text{C}$ ) и от апреля к маю (тоже на  $5,1^{\circ}\text{C}$ ). Значительное повышение происходит также от мая к июню (на  $4,7^{\circ}\text{C}$ ). От июля к августу начинается медленный спад температуры, который в последующем постепенно увеличивается. Благодаря утепляющему влиянию Черного моря, в осенние месяцы температура воздуха намного выше, чем в весенние. Так, температура в сентябре выше, чем в мае на  $3,3^{\circ}\text{C}$ .

Максимальная температура воздуха (средняя из абсолютных и абсолютная) за весь период наблюдений и по 30-летним периодам представлена в табл. 2.4. Самые высокие температуры воздуха на ЮБК наблюдаются в июле-августе: средняя из абсолютных максимумов равна соответственно  $31,7$  и  $31,2^{\circ}\text{C}$  (табл. 2.4). В зимние месяцы 50 % лет (примерно через год) средний из абсолютных максимумов достигает  $12,7\text{--}15,3^{\circ}\text{C}$ , абсолютный –  $16,6\text{--}20,1^{\circ}\text{C}$ . В сентябре и октябре, когда на ЮБК созревают плоды субтропических культур и винограда, средний из абсолютных максимумов достаточно высокий  $27,4$  и  $23,0^{\circ}\text{C}$ , а абсолютный максимум в отдельные годы достигает  $33,3$  и  $32,2^{\circ}\text{C}$ . В табл. 2.5 приводится среднее многолетнее число дней с максимальной температурой различных интервалов. Анализ табл. 2.5 показывает, что в летние месяцы на ЮБК преобладают максимальные температуры, благоприятные для развития растений (интервал  $21\text{--}30^{\circ}\text{C}$ ) и число таких дней за месяц составляет 24–28. Температуры, угнетающие развитие растений и дискомфортные для человека (интервал  $31\text{--}35^{\circ}\text{C}$ ) наблюдаются всего 2–3 дня в месяц. Максимальная температура воздуха выше  $35^{\circ}\text{C}$  бывает на побережье редко. За весь период наблюдений с 1930 по 2004 гг. зарегистрировано всего 7 дней с максимальными температурами выше  $35,0^{\circ}\text{C}$ .

Минимальная температура воздуха в районе агрометеостанции за весь период наблюдений и по 30-летним периодам приведена в табл. 2.6. Сравнение средних из абсолютных годовых минимумов по этим периодам подтверждает тенденцию глобального потепления, о котором в настоящее время говорят не только ученые, но и политики. Как видим из табл. 2.6, самая низкая средняя из абсолютных минимумов температура воздуха  $-8,7^{\circ}\text{C}$  была за период с 1931 по 1960 гг. В последующее 30-летие она повысилась до  $-7,9^{\circ}\text{C}$ , а в среднем за весь период наблюдений с 1930 по 2004 год составила  $-8,1^{\circ}\text{C}$ . Абсолютный минимум температуры воздуха за последние 75 лет опускался до  $-14,6^{\circ}\text{C}$  и наблюдался в феврале 1930 г., в феврале 1976 г. он был  $-14,5^{\circ}\text{C}$ . В декабре и январе минимальная температура воздуха может опускаться до  $-10,3\text{...}-13,2^{\circ}\text{C}$ , в марте до  $-11,1^{\circ}\text{C}$ , а в начале апреля до  $-5,7^{\circ}\text{C}$ . Вероятность таких температур небольшая. Так, температуры  $\leq-11^{\circ}$  бывают 1–2 раза в 10 лет,  $\leq-9^{\circ}\text{C}$  наблюдаются в 3–4 раза в 10 лет. Морозы  $\geq7^{\circ}\text{C}$  (еще опасные для субтропических культур) отмечаются 6–7 раз в 10 лет. Более подробно оценка морозоопасности района агрометеостанции и территории Никитского сада дана в работе [13].

В среднем за период с 1930 по 2004 гг. число дней с морозом составило 42 дня (табл. 2.7). Больше всего морозных дней (11–12) наблюдается в январе и феврале, в марте эта цифра тоже достаточно большая – 9 дней. В отдельные годы морозы наблюдаются в первой половине апреля и в октябре. По данным Зац Е.Н. [3], в среднем за период с 1930 по 1958 гг. также было 42 дня с морозом.

**Первый осенний заморозок.** Самый ранний осенний заморозок в воздухе, по материалам наблюдений за 1930–2004 гг., наблюдался 7.X (1978 г.), самый поздний – 17.I следующего года (1960 г.). Средняя дата первого осеннего заморозка – 27.XI (табл. 2.8). В работе Зац Е.Н. [3] соответствующие даты были: 27.X (1946 г.), 7.I (1955 г.), 2.XII.

**Последний весенний заморозок.** Самый ранний последний весенний заморозок отмечен 15.II (1983 г.), самый поздний – 15.IV (1933 г.). Средняя дата последнего мороза весной за весь период наблюдений – 20.III, а за периоды 1931–1960 гг. и 1961–1990 гг. соответственно – 24.III и 15.III (табл. 2.8).

Последний заморозок весной на поверхности почвы наблюдается позже, чем в воздухе

в среднем на 22 дня, а первый осенью – раньше на 20 дней (табл. 2.9).

Продолжительность безморозного периода Средняя продолжительность безморозного периода в воздухе составляет 251 день, наибольшая 309 дней (1960 г.), наименьшая 178 дней (2001 г.). Средняя продолжительность безморозного периода на поверхности почвы 209 дней, на полтора месяца меньше, чем в воздухе (табл. 2.9).

Даты перехода температур воздуха через 5, 10, 15°C. Выраженного устойчивого перехода среднесуточных температур воздуха через 0°C в районе станции, как и на всем Южном берегу Крыма, нет. Даты перехода и продолжительность периода с выше указанными пределами температур приведены в табл. 2.10. Из этой таблицы следует, что в течение теплого периода года насчитывается в среднем 279 дней с температурами воздуха выше 5°C, в том числе 206 дней с температурой выше 10°C и 146 дней – выше 15°C. Как уже указывалось, в районе агрометеостанции «Никитский сад» средняя многолетняя температура воздуха за месяц и декаду в течение всего года положительная, поэтому зимы как таковой не наблюдается, а климатические особенности района характеризуются по периодам: холодный и теплый. Основным признаком, определяющим продолжительность холодного и теплого периодов, являются даты перехода температуры воздуха через 10°C. За начало теплого периода принят апрель, среднемесячная температура которого близка к 10°C, первым месяцем холодного периода является ноябрь, температура которого равна 8.7°C, а устойчивый переход воздуха через 10°C в сторону понижения наблюдается 7 ноября. Такая же продолжительность теплого и холодного периодов принята в работах УкрНИГМИ (Украинского гидрометеорологического института) по Крыму [4]. Очень важной характеристикой термических условий теплого времени года являются суммы температур. Они отражают ресурсы тепла, обусловленные значениями радиационного баланса для данной территории, и являются существенным фактором климата при изучении условий роста и развития сельскохозяйственных культур. Эти данные имеют большое практическое значение для виноградарства и садоводства. Для оценки тепловых ресурсов применительно к выращиванию разных сельскохозяйственных культур в практике чаще всего пользуются суммами активных и эффективных температур воздуха выше 5, 10, 15, 20°C. Эти данные нарастающим итогом в тече-

ние года приведены в табл. 2.11, 2.12. За год в районе агрометеостанции «Никитский сад» накапливается, например, 3833°C активных температур воздуха выше 10°C. В самые теплые годы эта сумма может достигать 4385°C (1966 г.), в холодные не превышает 3276°C (1987 г.).

Если за начало активной вегетации большинства культур на ЮБК считать дату устойчивого перехода температур через 10°C, то вегетационный период в исследуемом районе длится в среднем 206 дней, с колебаниями в отдельные годы от 245 дней (1966 г.) до 169 дней (1977 г.). Всего за период активной вегетации накапливается около 3715°C активных температур выше 10°C. Используя поправки, приведенные в табл. 2.1 и данные агрометеостанции «Никитский сад» за 1930-2004 гг., наими были рассчитаны путем приведения средние месячные температуры воздуха для высоты 92 м над уровнем моря за этот же период. Затем, используя график годового хода температуры воздуха на высоте 92 м, вычислили суммы средних суточных температур воздуха выше 10°C нарастающим итогом за период активной вегетации (табл. 2.13). Устойчивый переход температуры воздуха через 10°C весной в сторону повышения на высоте 92 м в Никитском саду наступает 12 апреля, т.е. раньше, чем на высоте 208 м всего на 3 дня, а осенью переход через 10°C в сторону понижения на высоте 92 м наблюдается 11 ноября, позже, чем на высоте 208 м на 4 дня. Средняя продолжительность периода с температурами выше 10° на высоте 92 м равна 213 дней, на неделю больше, чем на высоте 208 м. За этот период на высоте 92 м накапливается 3936°C активных температур воздуха выше 10°C, больше, чем на высоте 208 м на 221°C (табл. 2.14). Следовательно, в описываемом районе сумма активных температур воздуха с поднятием на 100 м уменьшается на 190°C. Зная средние многолетние суммы активных температур воздуха выше 10°C, накапливающиеся в течение года (табл. 2.11, 2.13), можно определить рентабельность возделывания в исследуемом районе различных культур и специализацию виноградно-винодельческой промышленности. Обеспеченность накопления различных сумм активных температур воздуха выше 10°C на высотах 92 и 208 м над уровнем моря приведена в табл. 2.14. Так, суммы температур более 3600°C, необходимые для созревания некоторых средних и поздних субтропических культур и производства высококачественных крепленых вин, по состоянию на конец октября обеспечены в районе агрометеостанции на вы-

соте 208 м на 62% или 6-7 лет из 10, а на высоте 92 м обеспеченность значительно выше – 83% или 8-9 лет из 10. Сахаристые десертные вина на высоте 92 м можно получить примерно через год, а на высоте 208 м их обеспеченность только 25% (2-3 года из 10 лет).

Температура поверхности почвы. Температура поверхности почвы в среднем за год в районе составляет  $14^{\circ}\text{C}$ , абсолютный максимум  $64^{\circ}\text{C}$  отмечен в июле 1965 г., абсолютный минимум температур  $-20^{\circ}\text{C}$  наблюдался в феврале 1930, 1976 и 1985 годов (табл. 2.15). С мая по сентябрь поверхность почвы может прогреваться до  $54\text{--}64^{\circ}\text{C}$ . В холодный период на поверхности почвы температура может понижаться до  $-17\text{...}-20^{\circ}\text{C}$  (табл. 2.15). Температура почвы на глубинах 5, 10, 15 и 20 см на оголенном взрыхленном участке представлена в табл. 2.16. Как видно из таблицы, почва на глубинах 5, 10, 15 см в легкие месяцы может прогреваться в среднем до  $23\text{--}27^{\circ}\text{C}$ . Температура почвы на глубинах 0,4, 0,8, 1,2, 1,6, 2,4, 3,2 м под естественным травяным покровом помещена в табл. 2.17. На глубине 1,2 м самая высокая средняя месячная температура ( $21,5^{\circ}\text{C}$ ) наблюдается в августе, на глубине 1,6 м она одинаково высокая ( $20,3^{\circ}\text{C}$ ) в августе и сентябре, на глубине 2,4 м максимум температуры перемещается на сентябрь и достигает  $18,7^{\circ}\text{C}$ , и на глубине 3,2 м почва максимально прогревается до  $17,6^{\circ}\text{C}$  в сентябре-октябре (табл. 2.17). Амплитуда колебания температуры почвы самая наименьшая на глубине 3,2 м, где почва в холодный период охлаждается до  $10,6^{\circ}\text{C}$ , а в сентябре прогревается до  $17,6^{\circ}\text{C}$ , и составляет  $7,0^{\circ}\text{C}$ .

Глубина промерзания почвы. Промерзание почвы начинается после перехода ее температуры через  $0^{\circ}\text{C}$ . Промерзание почвы на ЮБК неустойчивое. Средняя многолетняя глубина промерзания в ноябре-декабре не превышает 2-3 см, в январе-феврале – 4-9 см. Наибольшая глубина промерзания на зяби в конце января – начале февраля 1950 г. достигала 21-23 см (табл. 2.18). Интересно отметить, что на оголенном участке (по Савиновским термометрам) на глубине 20 см понижение температуры до  $0^{\circ}\text{C}$  бывает очень редко. За период с 1930 по 2004 гг. отрицательные температуры на глубине 20 см наблюдались только два раза – в 1950 и 1972 гг. Так, в 1950 г. по Савиновским термометрам отрицательные температуры наблюдались с 30 января по 10 февраля. В это время температура почвы на этой глубине понижалась до  $-0,7^{\circ}\text{C}$ . В 1972 г. 24 января на глубине 20 см почва выхолаживалась до

$0,9^{\circ}\text{C}$ . Под естественным травяным покровом (по вытяжным термометрам) на глубине 20 см отрицательных температур не зарегистрировано. Самая низкая температура почвы  $0,2^{\circ}\text{C}$  на глубине 20 см под естественным покровом отмечена 26.01.1950 г.

Влажность воздуха. Наличие влаги в атмосфере играет существенную роль в формировании погоды и климата. Влажность воздуха необходимо учитывать при проектировании и эксплуатации промышленных и гражданских сооружений. В курортологии температурно-влажностный режим определяет комфортные условия на открытом воздухе и в помещениях. Известно, что больше всего влаги содержится в воздушной массе, поступающей со Средиземного моря или Атлантического океана. Воздушные массы, переносимые арктическими фронтами, имеют низкое влагосодержание. Влажность воздуха обычно характеризуется абсолютной влажностью воздуха или упругостью водяного пара, относительной влажностью и дефицитом влажности (недостатком насыщения).

Абсолютная влажность воздуха. Годовой ход упругости водяного пара зависит от хода температуры воздуха. В январе-марте упругость водяного пара имеет наименьшие значения (от 5,8 гПа до 6,2 гПа). В апреле-мае, по мере увеличения поступления солнечной радиации и роста температуры усиливается испарение влаги с поверхности почвы и моря, что вызывает интенсивное повышение влажности воздуха до  $8,1\text{--}11,1$  гПа. Особенно резко увеличивается содержание водяного пара с апреля по май и с мая по июнь, причем прирост составляет 3,0-2,9 гПа в месяц. Максимум упругости водяного пара отмечается в июле и составляет 15,4 гПа. В августе с началом понижения температуры воздуха начинает уменьшаться и содержание влаги. Следует отметить, что осенью влажность воздуха больше, чем весной, что связано с соответствующим ходом температуры воздуха. В среднем за год абсолютная влажность воздуха составляет 10,0 гПа, годовая амплитуда равна 9,6 гПа. Среднее квадратичное отклонение  $\sigma$ , характеризующее изменчивость упругости водяного пара во времени, сравнительно невелико (табл. 2.19). В суточном ходе максимум упругости водяного пара на ЮБК наступает одновременно с максимумом температуры в полдень, а минимум – в полночь.

Относительная влажность воздуха. Для практических целей наиболее широко применяются данные об относительной влажности

воздуха, являющейся показателем степени насыщения воздуха водяным паром. В среднем за год относительная влажность воздуха за весь период наблюдений в районе агрометеостанции составляет 67%. С ноября по март она более высокая и колеблется в пределах 74-76%. В летние месяцы относительная влажность опускается до 56-62%. Годовая амплитуда колебания относительной влажности 20% (табл. 2.20). Среднее годовое число дней с туманом, когда относительная влажность достигает 100%, за 1930-2004 гг. составила 35, но в отдельные годы оно может увеличиваться до 70 дней (табл. 2.21). Чаще всего туманы на ЮБК бывают с ноября по май и наблюдаются 3-7 дней в среднем за месяц. В июне-сентябре туманы практически отсутствуют. В отдельные годы (1951, 1957, 1963 и 1982) в феврале-мае число дней с туманом достигало 15-20. Косвенным показателем засушливости климата являются данные о повторяемости дней с высокой и низкой относительной влажностью. Дни, когда относительная влажность достигает 80% и более, принято относить к влажным, а те дни, в которые хотя бы в один из сроков наблюдений относительная влажность понижается до 30% и менее – к сухим. В среднем за год за период с 1930 по 2004 гг. наблюдалось 70 дней с относительной влажностью  $\geq 80\%$ . Самое большое число дней (96) с такой влажностью было за период с 1931 по 1960 гг. В последующие годы просматривается явная тенденция к уменьшению дней с высокой влажностью воздуха (табл. 2.21). Больше всего влажных дней в районе агрометеостанции наблюдается с ноября по март, когда их величина составляет в среднем 8-11 дней в месяц. В июне-сентябре, на фоне высоких температур воздуха, таких дней бывает очень мало, всего 1-3 дня. Поэтому ЮБК считается одним из самых комфортных климатических курортов. Самое большое число дней с относительной влажностью  $\geq 80\%$  в летние месяцы может достигать 11 дней, но это наблюдалось всего 1 раз (1949 г.) за последние 75 лет (табл. 2.21). Число дней с относительной влажностью воздуха  $\leq 30\%$  с марта по сентябрь в среднем не превышает 2-3 дня, но в отдельные годы может достигать 9-12. Наибольшее их количество (16) было отмечено в августе 1971 г. (табл. 2.22).

Дефицит влажности. Иногда для характеристики режима влажности используются значения недостатка насыщения воздуха водяным паром (дефицит влажности). Недостаток насыщения является функцией температуры воздуха и упругости водяного пара. В соответст-

вии с ходом температуры наименьшее его значение отмечается в холодный период года, наибольшие – в теплый (табл. 2.23). В июле-августе значения дефицита достигают 12,8 гПа, в январе – всего 1,9 гПа. В отдельные очень жаркие годы (2001 г.) максимальное среднемесячное значение дефицита влажности воздуха может достигать в июле-августе 18,9 и 18,0 гПа соответственно (табл. 2.23).

Атмосферные осадки. Особенности циркуляции и совместного влияния Крымских гор и Черного моря создают на ЮБК зону субтропического климата со свойственным ему характером осадкообразования. На ЮБК количество выпадающих осадков в холодный период больше, чем в теплый, что в значительной мере связано с выходом на Черное море средиземноморских циклонов. По среднемноголетним данным за 1930-2004 гг. в районе агрометеостанции за холодный период выпадает 330, за теплый – 259 и за год 589 мм осадков. По данным [3] за 1930-1957 гг. эта сумма была 579 мм. По 30-летним периодам за 1931-1960 гг. и 1961-1990 гг. годовая сумма осадков несколько меньше – 582 и 586 мм (табл. 2.24). В период с 1931 по 1960 гг. в среднем с марта по сентябрь осадков выпадало заметно меньше, чем за весь период наблюдений с 1930 по 2004 гг., а в период с 1961 по 1990 гг. эти же месяцы наоборот были более влажными. Заметное увеличение осадков в Никитском саду наблюдается последние 14 лет. Так, средняя годовая сумма осадков за 1991-2004 гг. составила 621 мм. Самое большое количество осадков за год наблюдалось в 1939 г. – 1009 мм, самое малое было в 1993 г. – 311 мм. В годовом ходе больше всего осадков выпадает в январе и декабре 75 и 79 мм. С апреля по сентябрь месячная сумма осадков значительно меньше, всего 32-42 мм. В отдельные очень сухие годы, например 1957, 1971, 1994, 2000 г., в эти месяцы может не выпадать и капли дождя. Обилие осадков в холодный период создает хорошие запасы влаги в почве, способствующие дружному росту растительности в начале вегетации. Весенние и летние осадки отчасти компенсируют испарившуюся и потребленную растениями влагу, тем не менее, во второй половине лета и начале осени создаются засушливые условия. Недостаточность осадков в теплую часть года вызывает необходимость орошения плодовых, винограда и других культур. Среднее многолетнее число дней с осадками различных градаций за весь период наблюдений предоставлено в табл. 2.25. Хозяйственно полезных дождей, т.е. дождей с количеством

осадков  $\geq 10$  мм в за год, в среднем бывает 12. Такие дожди чаще выпадают в осенне-зимние месяцы. Наибольшее суточное количество осадков по месяцам и за год приведено в табл. 2.26. Чаще всего максимальное суточное количество осадков в течение года составляло 40-70 мм, и только в августе и сентябре иногда могут проходить необычно сильные ливни. Дожди с количеством осадков  $\geq 30$  мм за 12 ч и менее наблюдаются в районе агрометеостанции 1-2 раза в год. Всего за период с 1930 по 2004 гг. отмечено 123 случая (табл. 2.27). Сильные дожди с количеством  $\geq 50$  мм бывают 30% лет или 3 года из 10. Дожди с количеством осадков  $\geq 100$  мм зарегистрированы в описываемом районе всего 3 раза (11 и 12 августа 1939 г. и 5 сентября 1968 г.), а с количеством осадков  $\geq 150$  мм 2 раза (1939 и 1968 гг.), и один раз (1968 г.) с количеством осадков 285 мм за один дождь. Это был настоящий тропический ливень. Дождь начался в 14 ч 30 мин 4 сентября, продолжался сутки 5 сентября и окончился в 23 ч 5 мин 6 сентября (в метеорологии в эти годы сутки принято считать с 21 ч до 21 ч). Этот дождь состоял из нескольких сильных ливней, когда за час и менее выпадало 30-40 мм осадков. Всего за 4, 5 и 6 сентября выпало 284,8 мм осадков. Весь дождь четко зарегистрирован плювиографом агрометеостанции «Никитский сад». На ленте плювиографа за 5 сентября 1968 г. было 24 слива, т.е. за сутки выпало 240 мм осадков. В заключение следует отметить, что 240 мм за сутки, выпавшие 5 сентября 1968 г., являются абсолютным зарегистрированным суточным максимумом осадков не только в районе Никитского сада, но и на всей Украине. Сильные ливни 4-6 сентября 1968 г. причинили значительный ущерб сельскому хозяйству побережья: на виноградниках и других участках была сильно смыта почва, образовались глубокие промоины, дороги засыпали почвой и камнями. После этого ливня, когда на каждый гектар выпало около 3000 м<sup>3</sup> воды, ягоды винограда потрескались, стали загнивать, и сбор урожая пришлось начинать намного раньше обычного при относительно низкой сахаристости. Поэтому выработка высококачественных вин из урожая 1968 г. была небольшой.

**Снежный покров.** В районе агрометеостанции «Никитский сад», как и на всем Южном берегу Крыма, снежный покров неустойчив. Число дней со снежным покровом по многолетним данным в конце декабря, январе и феврале бывает всего 1-2. Средняя из максимальных высот в холодный период не превы-

шает 7-11 см, а максимальная высота снежного покрова может достигать 56 см (3 декада февраля 1985 г., табл. 2.28). В конце января 1963 г. и в начале марта 1987 г. высота снежного покрова была 48 см, а в конце января 1996 г. – 41 см. Наиболее снежной за время наблюдений была зима 1953-1954 гг. В эту зиму снежный покров был устойчив и сохранялся в течение 62 дней. Максимальная высота его наблюдалась в первой декаде февраля и достигала 31 см. Очень сильные снегопады с количеством осадков  $\geq 20$  мм за 12 ч и менее отмечались в Никитском саду за 1930-2004 гг. 6 раз. Особенно много осадков в виде снега выпало 24 декабря 1961 г., тогда их количество составило 31,1 мм, и 31 января-1 февраля 1988 г., когда сумма осадков была 27 мм.

**Ветер.** Преобладающее направление ветра в районе агрометеостанции «Никитский сад» в течение всего года северо-восточное (28, 4%, табл. 2.29), на втором месте по повторяемости – юго-западное (11,7%). В холодный период повторяемость северо-восточного ветра 30-34%, юго-западного 10-14%, на остальные направления приходится по 1-8%. С апреля по сентябрь повторяемость северо-восточного ветра 20-28%, юго-западного – 9-13%. Повторяемость штилей в течение года довольно высокая 10-14%. Следует отметить, что повторяемость направления ветра, выраженная в процентах от общего числа наблюдений за каждый месяц и год, представлена в табл. 2.29 без учета штилей. Повторяемость штилей приведена в процентах от общего числа всех наблюдений. Статистическая ошибка расчета повторяемости составляет 0,1%. Средняя месячная скорость ветра имеет заметно выраженный годовой ход (табл. 2.30). Наибольшие средние скорости ветра 3,4-3,5 м/с наблюдаются в холодный период. В летние месяцы средние скорости ветра уменьшаются до 2,5-2,7 м/с. Заметное увеличение средней скорости ветра в сентябре на фоне еще высоких температур воздуха и малого количества осадков приводит к существенному повышению пожароопасности. В этом месяце на побережье чаще всего наблюдаются пожары в лесу. Средняя месячная и годовая скорость ветра различных направлений приведена в табл. 2.31. Как видно из табл. 2.31, наибольшая средняя годовая скорость 3,9-4,3 м/с наблюдается при ВСВ и СВ ветре, при ЮЗ и ЗЮЗ она несколько меньше – 3,7-3,8 м/с. В зимние месяцы самые большие скорости 4,3-5,0 м/с отмечены при ЮЗ и ЗЮЗ ветре, при СВ ветре они несколько меньше: 4,2-4,5 м/с. С марта по октябрь в Никитском

саду наибольшие скорости 3,6-5,0 м/с наблюдаются при СВ ветре, при ЮЗ направлении они 2,7-4,1 м/с. Далее более подробно остановимся на характеристике очень сильных ветров, которые приносят значительный ущерб различным отраслям экономики. Ветер, скорость которого при порывах достигает 25 м/с и более, относится к стихийным гидрометеорологическим явлениям (СГЯ). Анализ данных наблюдений за ветром за период с 1930 по 2004 гг. (табл. 2.32) показал, что ветры со скоростью 25 м/с и более наблюдаются в районе агрометеостанции «Никитский сад» 1-2 раза в год. Ветры со скоростью  $\geq 30$  м/с за эти годы наблюдались 45 раз, примерно через год. При этом ветры со скоростью  $\geq 30$  м/с чаще всего наблюдались с 1961 по 1990 гг. Ураганные ветры со скоростью  $> 35$  м/с наблюдаются 1-2 раза в десять лет. Ураганы со скоростью  $\geq 40$  м/с за 1931-2004 гг. отмечены 9 раз, примерно 1 раз в 10 лет. Наиболее сильные ветры в Никитском саду бывают юго-западного и северо-западного направления. Эти ветры приносят огромный вред древесным насаждениям, жилым постройкам, линиям электропередач и т.д. Так, 15 ноября 1992 г. на ЮБК наблюдался очень сильный ураган, напоминающий знаменитую Балаклавскую бурю 14 ноября 1854 г., которая пронеслась над Черным морем и Южным берегом при осаде Севастополя англо-французским флотом. Штормовой ветер 15 ноября 1992 г. начался в 03 ч 43 мин МСВ (международного скоординированного времени), к 06 ч 09 мин он усилился до 30 м/с, а к 10 ч 09 мин достиг 30-34 м/с и только к 12 ч 35 мин ветер ослабел до 20 м/с. Во время этого урагана сильно падало давление: с 982 гПа в 21 ч МСВ до 965 гПа (724 мм ртутного столба) в 06 ч МСВ. Ураган сопровождался сильным дождем, выпало 36 мм осадков. Ущерб от этого урагана был огромный. В Ялтинском порту утонуло несколько катеров, было повреждено много судов, портовых кранов, разбиты причалы и набережная. В лесах и парках деревья вырывало с корнем, с домов срывало крыши. Обычно очень сильные ветры на ЮБК наблюдаются с ноября по март, но в отдельные годы, например, в 1999 г. ураганный ветер наблюдался 18 мая, когда скорость северо-западного ветра достигала 30 м/с. Этим ветром было сбито много зеленых плодов с деревьев, обломаны молодые побеги винограда, оборваны электропровода, у Арки при въезде в Никитский сад скручены в узел рекламные щиты, установленные на двух рельсах. Более подробная характеристика максимальных скоростей ветра и чис-

ло дней с сильным ветром различных градаций приведена в табл. 2.33, 2.34. Наблюдения за ветром на агрометеостанции «Никитский сад» с 1931 по 1977 гг. проводились по флюгеру, с 1978 г. – по анеморумбометру. Характеристики ветра, полученные за весь период наблюдений (табл. 2.33) и по данным, зарегистрированным прибором (табл. 2.35) за 1978-2004 гг., отличаются незначительно. В Никитском саду, как и на всем Южном берегу Крыма, довольно часто наблюдается явление фёна. Фён – это сухой жаркий ветер, дующий с гор. Он сопровождается очень низкой относительной влажностью воздуха и резким повышением температуры воздуха. Особенно ярко проявляется фён в холодный период года, когда на фоне холодной погоды происходит резкое повышение температуры воздуха на 8-12°C и падение относительной влажности на 8-15%.

Анализ климатических условий за последние 75 лет наблюдений агрометеостанции «Никитский сад» подтверждает, что исследуемый район, как указывалось выше в работе А.М.Пенюгалова [7], характеризуется умеренно-теплым средиземноморским типом климата с преобладанием осенне-зимних осадков и засушливым летним периодом. Холодная часть года отличается чередованием кратковременной слабо морозной сухой погоды с теплыми дождливыми днями, иногда с сильными ветрами. В этот период наблюдаются резкие потепления с повышением температуры воздуха до 16-18°C.

О тенденции изменения температуры воздуха и сумм осадков за последние 75 лет на ЮБК можно судить по рис.1-3. На рис.1 представлен ход средней за год температуры воздуха, а также абсолютного максимума и абсолютного минимума температуры воздуха за период с 1930 по 2004 гг. При анализе тенденции изменения средней за год температуры воздуха и абсолютного максимума выявляется относительно устойчивый период потепления с 1957 по 1984 гг. (рис. 1). Цикл периода потепления 28 лет: постепенный рост температуры воздуха с 1957 по 1971 гг. и спад с 1972 по 1984 гг. После теплого периода на ЮБК с 1985 по 1997 гг. наблюдались относительно прохладные годы. Цикл этого периода – 14 лет. После 1997 г. на побережье опять начался более теплый период, 1998-2005 гг. по температурному режиму значительно превышали норму. Так, суммы активных температур воздуха выше 10°C нарастающим итогом в районе агрометеостанции «Никитский сад» на 31 октября за 1998-2005 гг. (исключая 2003 г.) достига-

ли 3740-3975°C при средней многолетней за 75-летний ряд 3650°C, а в относительно прохладный период с 1985 по 1997 гг. они колебались в пределах 3340-3760°C (рис. 2). Учитывая тенденцию изменения температуры воздуха ( $t_{cp}$  и  $t_{max}$ ) и сумм активных температур выше 10°C можно предположить, что ближайшие годы на ЮБК будут иметь достаточно высокую теплообеспеченность.

Тенденция изменения минимальной температуры воздуха в холодный период несколько иная. Анализируя ход абсолютного минимума температуры воздуха за все имеющиеся годы, видим, что с 1930 по 1956 гг. зимы на ЮБК были холодными. В эти годы минимальная температура воздуха в районе агрометеостанции «Никитский сад» часто опускалась до -10...-14.6°C. Период с 1957 по 1963 гг. был более теплым, морозы зимой не превышали 2..8°C. В дальнейшем, начиная с 1964 по 1976 гг. преобладали холодные зимы с понижением температуры воздуха до -10...-14.5°C. С 1977 г. по 2005 г. в Крыму на ЮБК наблюдались относительно теплые зимы, с абсолютным минимумом на побережье -3..-9°C, и только в отдельные годы температура воздуха опускалась до -10°C. Этот период длился 29 лет, и все забыли, что морозы в Крыму могут достигать 25-30°C и даже 34°C, перестали укрывать виноградники и высаживать более морозостойкие сорта, а зима 2006 г. об этом напомнила. В январе 2006 г. минимальная температура воздуха на ЮБК опускалась до -12...-15°C, в Судаке-Коктебеле – до -20...-24°C, в Присивашье – до -26..-28°C, в центральных районах Крыма до -29 1°C, и хозяйства, исключая ЮБК, понесли колоссальные убытки. Проведенный выше анализ дает основание предположить, что в последующие годы зимы будут более холодными, чем в период с 1977 по 2005 гг.

Анализируя ход сумм осадков за год и гептальный период (рис.3) в районе агрометеостанции «Никитский сад» за 75-летний ряд наблюдений, можно отметить их резкое колебание по годам. При среднемноголетней величине 589 мм годовые суммы осадков колеблются от 311 до 1009 мм. За рассматриваемый период очень влажные годы с суммой осадков около 1000 мм наблюдались с периодичностью 29 лет. Так, в 1939 г. выпало 1009 мм, через 29 лет, в 1968 г. 982 мм и еще через 29 лет, в 1997 г. – 949 мм. Внутри 29-летних циклов, через 16-19 лет после года с максимальным количеством осадков, наблюдались годы с количеством осадков 850 мм и более: в 1955 г. выпало 850 мм, в 1987 г. – 880 мм. Минимальное количе-

ство осадков (менее 400 мм) за последние 75 лет на ЮБК выпадали: в 1948 г. – 380, в 1953 г. – 363, в 1975 г. – 315, в 1993 г. – 311 и в 2000 г. – 377 мм. Цикличность колебаний очень застужливых лет за рассматриваемые годы, если взять за начало отсчета 1948 г. будет, примерно, следующая: 5 → 22 → 18 → 7 лет. Кроме того, можно отметить, что после очень сухого года, следующий за ним год не бывает очень влажным. По количеству осадков он чаще всего около или ниже нормы. Так, после очень сухого 1948 г. в 1949 г. выпало 481 мм, после 1953 г. в 1954 г. – 635 мм, после 1875 г. в 1976 г. – 560 мм, а после 1993 г. в 1994 г. – 411 мм осадков.

Приведенные в статье климатические материалы могут быть использованы как для общей характеристики условий произрастания растений, интродукции, селекции, так и для решения конкретных вопросов технологии выращивания сельскохозяйственных культур, таких как планирование сроков обработки почвы, сева, уборки, высадки саженцев, сроков полива и внесения минеральных удобрений, дат обработки растений химпрепаратами и многих других агротехнических мероприятий, направленных на повышение культуры земледелия.

Сведения о средних величинах метеорологических элементов широко используются для общей характеристики режима, но они не описывают изменчивости элементов, значения которых в каждом конкретном году могут сильно отличаться от среднего. Изменчивость метеорологических элементов можно характеризовать величинами среднего квадратического отклонения  $\sigma$  отдельных значений от среднего многолетнего, рассчитанного по формуле:

$$\sigma = \pm \sqrt{\sum (x_i - \bar{x})^2 / n};$$

и приведенного нами во всех прилагаемых таблицах.

При нормальном законе распределения, т.е. когда частота повторяемости малых и больших значений элемента отличается от средней на одну и ту же величину, т.е. примерно одинакова, значение средней величины элемента и его среднего квадратичного отклонения представляет весь спектр изменчивости элемента. В интервале  $x \pm 3\sigma$  укладывается 99% всех встречающихся значений элемента. Вычитая или прибавляя к средней величине утроенное значение  $\sigma$ , можно получить его минимум и максимум. В интервале  $x \pm 2\sigma$  находится 95%, а в интервале  $x \pm \sigma$  – 68% всех значений данного элемента. В последнем случае

условия можно считать обычными для данной местности.

Существенность отклонений текущей погоды от средних многолетних значений [5] можно определить, рассчитав величину показателя  $K_c$  существенности отклонений элементов  $x_i$  текущей погоды от средних многолетних величин  $\bar{x}_i$ .

$$K_c = (x_i - \bar{x}_i)/\sigma.$$

Если значение  $K_c$  находится в пределах от 0 до 1, то условия близки к обычным. Если его значение находится между 1 и 2, то условия значительно отличаются от средних многолетних и в технологии производства сельскохозяйственной продукции необходимо принимать специальные меры по ослаблению неблагоприятного воздействия данного метеорологического элемента на состояние растений или более полному использованию складывающихся благоприятных условий. Если же отклонение больше 2, то условия приближаются к редким и технологии производства сельскохозяйственной продукции не может оставаться традиционной. Например, вторая половина лета 2004 г. была на побережье очень влажной, что способствовало сильному развитию болезней на винограде и у плодовых. Относительная влажность воздуха в августе составила 72% при норме 56. Поэтому, показатель  $K_c$  получился выше 2, т.е. погодные условия 2004 г. были редкими и требовалось проведение значительно большего числа химических обработок растений по сравнению с рекомендованными для средних многолетних условий. Можно привести ещё несколько примеров использования метеорологической информации в сельскохозяйственном производстве. Так, по количеству осадков производится корректировка доз азотных удобрений, вносимых при вспашке. При засухе соотношение между азотом, фосфором и калием изменяется в сторону увеличения доз фосфорно-калийных удобрений. Успех химических способов борьбы с сорняками зависит от сложившихся и ожидаемых метеорологических условий. Опрыскивание посевов гербицидами целесообразно проводить в первую половину дня при преобладании без дождливой солнечной погоды с умеренной температурой воздуха 14-18°C, при относительной влажности воздуха 40-60%. При температуре 25-26°C гербициды малоэффективны, а при пониженном температурном режиме (ниже 14°C), пасмурной и влажной погоде могут вызвать значительное повреждение растений.

Оценивая степень благоприятности погодных условий для развития болезней винограда надо учитывать, что милдью активно прогрессирует, когда весной при температурах выше 10°C наблюдается влажная дождливая погода. Оидиум благоприятствует повышенная влажность воздуха и температура воздуха 22-26°C. При температуре выше 30° рост грибниц приостанавливается. Серая гниль особенно активно развивается, когда во время созревания винограда выпадает большое количество осадков. При проведении работ по обработке почвы надо учитывать, что на ЮБК даже в холодный период часто наблюдается солнечная погода с умеренными и сильными ветрами, способствующая сильному испарению влаги из почвы, поэтому обработка почвы должна быть направлена на сохранение влаги.

При оценке агрометеорологических условий во время вегетации винограда необходимо учитывать следующее:

- весенней дифференциации соцветий благоприятствует влажная прохладная погода, при очень теплой и сухой весне образование соцветий идет слабо, на кустах рано появляются «усики». Ранневесенние поливы также благоприятно влияют на весеннюю дифференацию соцветий и значительно повышают урожай винограда. При отсутствии осадков в марта-апреле полив винограда перед возобновлением вегетации должен стать правилом, его можно исключить только в очень влажные годы. Полив винограда ранней весной несколько задержит распускание почек, и будет способствовать лучшей дифференциации соцветий;

- неблагоприятные условия во время цветения винограда складываются, если температура воздуха опускается ниже 15°C или в течение нескольких дней наблюдается высокая влажность воздуха (80-100%). Отсутствие осадков в июне и низкая влажность почвы не способствуют началу закладки соцветий под урожай будущего года. Поэтому поливы винограда (в случае продолжительного бездождя в мае-июне) перед и сразу после цветения благоприятно скажутся на формировании урожая текущего и будущего года;

- во время созревания винограда оптимальные условия для сахаронакопления складываются, когда днем температура воздуха повышается до 26-27°C, а ночью не опускается ниже 18-19°C. В годы с высокой теплообеспеченностью, когда суммы активных температур воздуха выше 10°C ( $\sum t_a$ ) за вегетацию на фоне удовлетворительной и хорошей влагообеспеченности достигают 3800°C и более, а число

дней в июле-октябре с максимальной температурой воздуха  $>25^{\circ}\text{C}$  – 50 и более, выработка высококачественных десертных вин на ЮБК можно ожидать максимально высокой. Если же  $\sum t_a$  выше  $10^{\circ}\text{C}$  меньше  $3500^{\circ}\text{C}$ , а число дней с  $t_{\max} \geq 25^{\circ}\text{C}$  менее 40, выработка таких вин будет очень небольшой, а некоторые марки вин из собранного винограда вообще получить будет невозможно.

Сроки проведения работ по прививке винограда, плодовых и других культур в естественных условиях лучше корректировать по температуре почвы на глубине массового расположения корней. При температуре почвы

около  $8^{\circ}\text{C}$  на глубине 40-50 см ранней весной у растений ещё нет активной вегетации, но уже начинается сокодвижение, что будет способствовать лучшей приживаемости прививки. Осенью при понижении температуры почвы до  $8^{\circ}\text{C}$  уже прекращается активная вегетация, но ещё продолжается сокодвижение, и создаются благоприятные условия для приживаемости прививок.

Таким образом, правильный учет климатических факторов и текущих условий погоды при выращивании винограда должен обеспечить в каждом хозяйстве высокую продуктивность виноградной лозы.

### 3. ТАБЛИЦЫ

Таблица 1.1

**Высота солнца на 15-е число месяца (град.) в районе агрометеостанции  
«Никитский сад»**

Время, Час мин	I	II	III	IV	V	VI	VII	VIII	IX	X	XI	XII
6 30			2.8	12.7	19.7	22.0	19.7	14.7	9.3	2.3		
9 30	15.0	22.0	31.6	42.9	50.8	53.4	51.3	46.0	38.4	29.3	20.3	14.7
12 30	23.9	32.2	42.8	54.4	63.1	67.5	66.2	59.0	48.2	36.0	26.1	21.7
15 30	9.6	17.2	25.3	32.8	38.8	42.2	42.0	37.1	27.1	16.6	8.6	5.8
18 30				1.6	7.1	10.6	10.4	5.2				

Таблица 1.2

**Истинное солнечное время (ч мин) восхода (В), захода (З) солнца и продолжительность (П) дня в районе агрометеостанции «Никитский сад»**

Дата	Январь			Февраль			Март			Апрель			Май			Июнь		
	В	З	П	В	З	П	В	З	П	В	З	П	В	З	П	В	З	П
1	7,33	16,27	8,54	7,05	16,55	9,50	6,26	17,34	11,08	5,38	18,22	12,44	4,54	19,06	14,12	4,21	19,39	15,18
2	7,32	16,28	8,56	7,04	16,56	9,52	6,26	17,34	11,08	5,36	18,24	12,48	4,53	19,07	14,14	4,20	19,40	15,20
3	7,32	16,28	8,56	7,03	16,57	9,54	6,24	17,36	11,12	5,34	18,26	12,52	4,51	19,09	14,18	4,19	19,41	15,22
4	7,31	16,29	8,58	7,02	16,58	9,56	6,22	17,38	11,16	5,33	18,27	12,54	4,49	19,11	14,22	4,19	19,41	15,22
5	7,31	16,29	8,58	7,00	17,00	10,00	6,20	17,40	11,20	5,31	18,29	12,58	4,48	19,12	14,24	4,18	19,42	15,24
6	7,30	16,30	9,00	6,59	17,01	10,02	6,18	17,42	11,24	5,29	18,31	13,02	4,47	19,13	14,26	4,18	19,42	15,24
7	7,30	16,30	9,00	6,58	17,02	10,04	6,17	17,43	11,26	5,29	18,31	13,02	4,45	19,15	14,30	4,18	19,42	15,24
8	7,30	16,30	9,00	6,57	17,03	10,03	6,15	17,45	11,30	5,27	18,33	13,06	4,45	19,15	14,30	4,16	19,44	15,28
9	7,29	16,31	9,02	6,56	17,04	10,08	6,13	17,47	11,34	5,25	18,35	13,10	4,44	19,16	14,32	4,16	19,44	15,28
10	7,29	16,31	9,02	6,54	17,06	10,12	6,11	17,49	11,38	5,24	18,36	13,12	4,43	19,17	14,34	4,16	19,44	15,28
11	7,28	16,32	9,04	6,53	17,07	10,14	6,10	17,50	11,40	5,23	18,37	13,14	4,42	19,18	14,36	4,16	19,44	15,28
12	7,27	16,33	9,06	6,51	17,09	10,18	6,08	17,52	11,44	5,21	18,39	13,18	4,40	19,20	14,40	4,15	19,45	15,30
13	7,26	16,34	9,08	6,49	17,11	10,22	6,07	17,53	11,46	5,19	18,41	13,22	4,39	19,21	14,42	4,14	19,46	15,32
14	7,25	16,35	9,10	6,47	17,13	10,26	6,05	17,55	11,50	5,18	18,42	13,24	4,38	19,22	14,44	4,14	19,46	15,32
15	7,25	16,35	9,10	6,45	17,15	10,30	6,05	17,55	11,50	5,17	18,43	13,26	4,36	19,24	14,48	4,14	19,46	15,32
16	7,23	16,37	9,14	6,43	17,17	10,34	6,02	17,58	11,56	5,15	18,45	13,30	4,36	19,24	14,48	4,14	19,46	15,32
17	7,22	16,38	9,16	6,42	17,18	10,36	6,01	17,59	11,58	5,13	18,47	13,34	4,34	19,26	14,52	4,14	19,46	15,32
18	7,22	16,38	9,16	6,40	17,20	10,40	6,00	18,00	12,00	5,12	18,48	13,36	4,34	19,26	14,52	4,14	19,46	15,32
19	7,21	16,39	9,18	6,39	17,21	10,42	5,58	18,02	12,04	5,11	18,49	13,38	4,32	19,28	14,56	4,14	19,46	15,32
20	7,20	16,40	9,20	6,37	17,23	10,46	5,56	18,04	12,08	5,09	18,51	13,42	4,32	19,28	14,56	4,14	19,46	15,32
21	7,19	16,41	9,22	6,36	17,24	10,48	5,54	18,06	12,12	5,07	18,53	13,46	4,30	19,30	15,00	4,14	19,46	15,32
22	7,18	16,42	9,24	6,35	17,25	10,50	5,53	18,07	12,14	5,06	18,54	13,48	4,30	19,30	15,00	4,14	19,46	15,32
23	7,17	16,43	9,26	6,33	17,27	10,54	5,51	18,09	12,18	5,06	18,54	13,48	4,28	19,32	15,04	4,14	19,46	15,32
24	7,16	16,44	9,28	6,32	17,28	10,56	5,49	18,11	12,22	5,04	18,56	13,52	4,27	19,33	15,06	4,14	19,46	15,32
25	7,16	16,44	9,28	6,32	17,28	10,56	5,48	18,12	12,24	5,02	18,58	13,56	4,26	19,34	15,08	4,14	19,46	15,32
26	7,14	16,46	9,32	6,31	17,29	10,58	5,46	18,14	12,28	5,01	18,59	13,58	4,25	19,35	15,10	4,14	19,46	15,32
27	7,12	16,48	9,36	6,29	17,31	11,02	5,44	18,16	12,32	4,59	19,01	14,02	4,25	19,35	15,10	4,14	19,46	15,32
28	7,11	16,49	9,38	6,27	17,33	11,06	5,44	18,16	12,32	4,58	19,02	14,04	4,24	19,36	15,12	4,14	19,46	15,32
29	7,10	16,50	9,40				5,42	18,18	12,36	4,57	19,03	14,06	4,23	19,37	15,14	4,15	19,45	15,32
30	7,09	16,51	9,42				5,40	18,20	12,40	4,56	19,04	14,08	4,23	19,37	15,14	4,14	19,46	15,32
31	7,07	16,53	9,46				5,40	18,20	12,40				4,23	19,37	15,14			

## Продолжение табл. 1.2

12

Дата	Июль			Август			Сентябрь			Октябрь			Ноябрь			Декабрь		
	В	З	П	В	З	П	В	З	П	В	З	П	В	З	П	В	З	П
1	4,15	19,45	15,30	4,40	19,20	14,40	5,21	18,39	13,18	6,07	17,53	11,46	6,53	17,07	10,14	7,27	16,33	9,06
2	4,15	19,45	15,30	4,42	19,18	14,36	5,22	18,38	13,16	6,08	17,52	11,44	6,54	17,06	10,12	7,28	16,32	9,04
3	4,16	19,44	15,28	4,42	19,18	14,36	5,24	18,36	13,12	6,11	17,49	11,38	6,56	17,04	10,08	7,28	16,32	9,04
4	4,16	19,44	15,28	4,44	19,16	14,32	5,26	18,34	13,08	6,12	17,48	11,36	6,57	17,03	10,06	7,29	16,31	9,02
5	4,17	19,43	15,26	4,45	19,15	14,30	5,27	18,33	13,06	6,13	17,47	11,34	6,58	17,02	10,04	7,30	16,30	9,00
6	4,18	19,42	15,24	4,46	19,14	14,28	5,28	18,32	13,04	6,15	17,45	11,30	7,00	17,00	10,00	7,30	16,30	9,00
7	4,18	19,42	15,24	4,47	19,13	14,26	5,30	18,30	13,00	6,16	17,44	11,28	7,01	16,59	9,58	7,31	16,29	8,58
8	4,18	19,42	15,24	4,48	19,12	14,24	5,32	18,28	12,56	6,18	17,42	11,24	7,02	16,58	9,56	7,31	16,29	8,58
9	4,19	19,41	15,22	4,49	19,11	14,22	5,33	18,27	12,54	6,19	17,41	11,22	7,04	16,56	9,52	7,32	16,28	8,56
10	4,20	19,40	15,20	4,51	19,09	14,18	5,35	18,25	12,50	6,21	17,39	11,18	7,06	16,54	9,48	7,33	16,27	8,54
11	4,21	19,39	15,18	4,52	19,08	14,16	5,36	18,24	12,48	6,22	17,38	11,16	7,07	16,53	9,46	7,33	16,27	8,54
12	4,21	19,39	15,18	4,54	19,06	14,12	5,37	18,23	12,46	6,24	17,36	11,12	7,08	16,52	9,44	7,34	16,26	8,52
13	4,22	19,38	15,16	4,55	19,05	14,10	5,39	18,21	12,42	6,26	17,34	11,08	7,10	16,50	9,40	7,34	16,26	8,52
14	4,23	19,37	15,14	4,56	19,04	14,08	5,40	18,20	12,40	6,27	17,33	11,06	7,11	16,49	9,38	7,34	16,26	8,52
15	4,23	19,37	15,14	4,57	19,03	14,06	5,41	18,19	12,37	6,28	17,32	11,04	7,13	16,47	9,34	7,34	16,26	8,52
16	4,24	19,36	15,12	4,59	19,01	14,02	5,43	18,17	12,34	6,29	17,31	11,02	7,13	16,47	9,34	7,34	16,26	8,52
17	4,25	19,35	15,10	5,00	19,00	14,00	5,44	18,16	12,32	6,30	17,30	11,00	7,13	16,47	9,34	7,34	16,26	8,52
18	4,26	19,34	15,08	5,01	18,59	13,58	5,47	18,13	12,26	6,33	17,27	10,54	7,15	16,45	9,30	7,35	16,25	8,50
19	4,27	19,33	15,06	5,02	18,58	13,56	5,48	18,12	12,24	6,34	17,26	10,52	7,16	16,44	9,28	7,35	16,25	8,50
20	4,28	19,32	15,04	5,04	18,56	13,52	5,49	18,11	12,22	6,35	17,25	10,50	7,17	16,43	9,26	7,35	16,25	8,50
21	4,28	19,32	15,04	5,06	18,54	13,48	5,52	18,08	12,16	6,36	17,24	10,48	7,18	16,42	9,24	7,35	16,25	8,50
22	4,29	19,31	15,02	5,07	18,53	13,46	5,53	18,07	12,14	6,37	17,23	10,46	7,20	16,40	9,20	7,35	16,25	8,50
23	4,30	19,30	15,00	5,09	18,51	13,42	5,54	18,06	12,12	6,40	17,20	10,40	7,21	16,39	9,18	7,35	16,25	8,50
24	4,32	19,28	14,56	5,10	18,50	13,40	5,56	18,04	12,08	6,41	17,19	10,38	7,22	16,38	9,16	7,35	16,25	8,50
25	4,32	19,28	14,56	5,12	18,48	13,36	5,57	18,03	12,06	6,43	17,17	10,34	7,22	16,38	9,16	7,35	16,25	8,50
26	4,34	19,26	14,52	5,13	18,47	13,34	5,59	18,01	12,02	6,44	17,16	10,32	7,23	16,37	9,14	7,35	16,25	8,50
27	4,35	19,25	14,50	5,13	18,47	13,34	6,01	17,59	11,58	6,46	17,14	10,28	7,25	16,35	9,10	7,35	16,25	8,50
28	4,36	19,24	14,48	5,15	18,45	13,30	6,02	17,58	11,56	6,48	17,12	10,24	7,25	16,35	9,10	7,35	16,25	8,50
29	4,37	19,23	14,46	5,16	18,44	13,28	6,03	17,57	11,54	6,49	17,11	10,22	7,26	16,34	9,08	7,34	16,26	8,52
30	4,38	19,22	14,44	5,17	18,43	13,26	6,06	17,54	11,48	6,50	17,10	10,20	7,27	16,33	9,06	7,34	16,26	8,52
31	4,40	19,20	14,40	5,19	18,41	13,22				6,52	17,08	10,16				7,33	16,27	8,54

Таблица 1.3

Энергетическая освещенность солнечной радиацией ( $\text{kVt}/\text{m}^2$ ) при ясном небе

Время, ч мин	Радиация	I	II	III	IV	V	VI	VII	VIII	IX	X	XI	XII
0 30	B	-0,07	-0,07	-0,07	-0,07	-0,06	-0,06	-0,07	-0,07	-0,07	-0,07	-0,07	-0,07
6 30	S			0,31	0,47	0,55	0,56	0,51	0,45	0,39			
	S'			0,04	0,11	0,20	0,20	0,17	0,11	0,06			
	D			0,03	0,06	0,08	0,09	0,08	0,07	0,05			
	Q			0,07	0,17	0,28	0,29	0,25	0,18	0,11			
	B	-0,07	-0,05	-0,01	0,05	0,13	0,15	0,12	0,06	0,01	-0,07	-0,06	-0,07
9 30	S	0,73	0,80	0,82	0,82	0,81	0,80	0,77	0,77	0,79	0,82	0,77	0,71
	S'	0,20	0,31	0,44	0,57	0,62	0,65	0,60	0,55	0,49	0,40	0,27	0,18
	D	0,06	0,08	0,10	0,13	0,14	0,13	0,14	0,13	0,11	0,08	0,07	0,06
	Q	0,26	0,39	0,54	0,70	0,76	0,78	0,74	0,68	0,60	0,48	0,34	0,24
	B	0,09	0,19	0,32	0,44	0,50	0,51	0,47	0,42	0,37	0,27	0,17	0,09
12 30	S	0,85	0,89	0,87	0,87	0,85	0,83	0,81	0,82	0,84	0,85	0,83	0,81
	S'	0,36	0,49	0,60	0,72	0,77	0,78	0,74	0,70	0,63	0,51	0,37	0,30
	D	0,07	0,08	0,12	0,13	0,14	0,14	0,15	0,13	0,11	0,09	0,08	0,07
	Q	0,43	0,57	0,72	0,85	0,91	0,92	0,89	0,83	0,74	0,60	0,45	0,37
	B	0,22	0,34	0,46	0,56	0,61	0,61	0,58	0,52	0,45	0,34	0,24	0,17
15 30	S	0,56	0,70	0,72	0,74	0,74	0,75	0,73	0,71	0,68	0,61	0,50	0,43
	S'	0,10	0,20	0,32	0,40	0,46	0,50	0,49	0,42	0,31	0,18	0,08	0,05
	D	0,04	0,06	0,09	0,11	0,12	0,12	0,12	0,11	0,09	0,07	0,04	0,03
	Q	0,14	0,26	0,41	0,51	0,58	0,62	0,61	0,53	0,40	0,25	0,12	0,08
	B	0,01	0,11	0,21	0,28	0,35	0,56	0,35	0,28	0,19	0,08	0,00	-0,02
18 30	S				0,13	0,22	0,35	0,28	0,15				
	S'				0,01	0,03	0,06	0,05	0,02				
	D				0,02	0,04	0,05	0,05	0,04				
	Q				0,03	0,07	0,11	0,10	0,06				
	B	-0,07	-0,07	-0,05	-0,07	-0,02	0,00	0,00	-0,03	-0,07	-0,07	-0,06	-0,07

Таблица 1 4

**Энергетическая освещенность солнечной радиацией ( $\text{kVt}/\text{m}^2$ ) при средних условиях облачности**

Время, ч мин	Радиация	I	II	III	IV	V	VI	VII	VIII	IX	X	XI	XII
0 30	B	-0,03	0,03	-0,04	-0,04	-0,04	-0,05	-0,06	-0,06	-0,06	-0,05	-0,03	-0,03
6 30	S			0,03	0,18	0,27	0,38	0,39	0,33	0,18	0,00		
	S'			0,01	0,04	0,09	0,14	0,13	0,09	0,04	0,00		
	D			0,01	0,06	0,09	0,10	0,09	0,07	0,04	0,01		
	Q			0,02	0,10	0,18	0,24	0,22	0,16	0,08	0,01		
	B	-0,03	-0,03	-0,02	0,03	0,09	0,12	0,11	0,06	0,00	-0,04	-0,03	-0,02
9 30	S	0,16	0,20	0,29	0,38	0,42	0,55	0,60	0,60	0,56	0,46	0,25	0,16
	S'	0,05	0,08	0,16	0,26	0,33	0,44	0,47	0,42	0,35	0,22	0,09	0,05
	D	0,07	0,10	0,16	0,21	0,23	0,21	0,20	0,19	0,16	0,14	0,10	0,06
	Q	0,12	0,18	0,32	0,47	0,56	0,65	0,67	0,61	0,51	0,36	0,19	0,11
	B	0,05	0,10	0,20	0,30	0,37	0,43	0,43	0,38	0,31	0,21	0,10	0,05
12 30	S	0,24	0,24	0,33	0,40	0,41	0,52	0,57	0,57	0,52	0,43	0,30	0,21
	S'	0,10	0,13	0,23	0,32	0,34	0,48	0,52	0,49	0,39	0,25	0,13	0,08
	D	0,11	0,15	0,21	0,25	0,27	0,25	0,25	0,23	0,20	0,17	0,13	0,10
	Q	0,21	0,28	0,44	0,57	0,61	0,73	0,77	0,72	0,59	0,42	0,26	0,18
	B	0,12	0,18	0,29	0,38	0,43	0,49	0,50	0,45	0,36	0,25	0,16	0,10
15 30	S	0,12	0,16	0,24	0,30	0,33	0,43	0,44	0,44	0,36	0,27	0,12	0,08
	S'	0,02	0,04	0,11	0,17	0,22	0,29	0,29	0,26	0,16	0,08	0,02	0,00
	D	0,04	0,08	0,12	0,16	0,11	0,18	0,18	0,16	0,13	0,08	0,04	0,03
	Q	0,06	0,12	0,23	0,33	0,40	0,47	0,47	0,42	0,29	0,16	0,06	0,03
	B	0,02	0,06	0,12	0,19	0,24	0,28	0,27	0,22	0,14	0,06	0,01	0,00
18 30	S				0,00	0,05	0,17	0,15	0,03				
	S'				0,00	0,01	0,03	0,03	0,01				
	D				0,01	0,03	0,05	0,05	0,02				
	Q				0,01	0,04	0,08	0,08	0,03				
	B	-0,03	-0,03	-0,04	-0,04	-0,02	0,00	-0,01	-0,04	-0,06	-0,05	-0,03	-0,03

Таблица 1.5

Суммы прямой солнечной радиации ( $\text{МДж}/\text{м}^2$ ) на нормальную к лучу поверхность при ясном небе

Месяц	За часовой интервал (истинное солнечное время)															За сутки	За месяц			
	3-4ч	4-5ч	5-6ч	6-7ч	7-8ч	8-9ч	9-10ч	10-11ч	11-12ч	12-13ч	13-14ч	14-15ч	15-16ч	16-17ч	17-18ч	18-19ч	19-20ч	20-21ч		
I						0,46	1,92	2,66	2,94	3,07	3,07	2,94	2,66	1,92	0,46				22,10	685
II					0,07	1,54	2,45	2,94	3,12	3,20	3,20	3,12	2,94	2,45	1,54	0,07			26,64	746
III				0,75	1,97	2,62	2,96	3,07	3,14	3,14	3,14	3,07	2,91	2,53	1,87	0,75			28,78	892
IV			0,48	1,64	2,28	2,68	2,94	3,07	3,14	3,14	3,07	2,94	2,68	2,28	1,64	0,48			32,46	974
V		0,09	1,02	1,92	2,38	2,68	2,91	3,02	3,07	3,07	3,02	2,91	2,68	2,38	1,92	1,02	0,09		34,18	1060
VI	0,33	1,33	2,00	2,43	2,71	2,86	2,94	3,02	3,02	2,94	2,86	2,71	2,43	2,00	1,33	0,33			35,24	1057
VII	0,17	1,00	1,84	2,30	2,63	2,79	2,89	2,94	2,94	2,89	2,79	2,63	2,30	1,84	1,00	0,17			33,12	1027
VIII	0,00	0,54	1,61	2,15	2,56	2,76	2,89	2,96	2,96	2,89	2,76	2,56	2,15	1,61	0,54	0,00			30,94	959
IX		0,06	1,23	2,00	2,50	2,79	2,96	3,04	3,04	2,96	2,79	2,50	2,00	1,23	0,06			29,16	875	
X				0,30	1,56	2,45	2,89	3,02	3,07	3,07	3,02	2,89	2,45	1,56	0,30			26,58	824	
XI					0,72	2,10	2,71	2,91	3,02	3,02	2,91	2,71	2,10	0,72				22,92	688	
XII						0,21	1,74	2,50	2,81	2,91	2,91	2,81	2,50	1,74	0,21			20,34	631	
Год																		10418		

Таблица 1.6

Суммы прямой солнечной радиации ( $\text{МДж}/\text{м}^2$ ) на горизонтальную поверхность при ясном небе

Месяц	За часовой интервал (истинное солнечное время)															За сутки	За месяц			
	3-4ч	4-5ч	5-6ч	6-7ч	7-8ч	8-9ч	9-10ч	10-11ч	11-12ч	12-13ч	13-14ч	14-15ч	15-16ч	16-17ч	17-18ч	18-19ч	19-20ч	20-21ч		
I						0,03	0,29	0,72	1,06	1,24	1,24	1,06	0,72	0,29	0,03			6,68	207	
II					0,00	0,17	0,65	1,15	1,50	1,70	1,70	1,50	1,15	0,65	0,17	0,00		10,34	290	
III					0,07	0,48	1,07	1,58	1,93	2,14	2,14	1,93	1,56	1,04	0,46	0,07		14,47	449	
IV				0,01	0,34	0,89	1,47	1,98	2,35	2,56	2,56	2,35	1,98	1,47	0,89	0,34	0,01		19,20	576
V	0,01	0,14	0,60	1,15	1,70	2,21	2,57	2,75	2,75	2,57	2,21	1,70	1,15	0,60	0,14	0,01		22,26	690	
VI	0,03	0,25	0,72	1,28	1,83	2,27	2,59	2,79	2,79	2,59	2,27	1,83	1,28	0,72	0,25	0,03		23,52	706	
VII	0,00	0,17	0,63	1,17	1,74	2,19	2,51	2,69	2,69	2,51	2,19	1,74	1,17	0,63	0,17	0,00		22,20	688	
VIII	0,00	0,07	0,42	0,94	1,51	1,99	2,34	2,53	2,53	2,34	1,99	1,51	0,94	0,42	0,07	0,00		19,60	608	
IX		0,01	0,16	0,62	1,18	1,69	2,06	2,26	2,26	2,06	1,69	1,18	0,62	0,16	0,01			15,96	479	
X				0,03	0,26	0,80	1,31	1,66	1,83	1,83	1,66	1,31	0,80	0,26	0,03			11,78	365	
XI						0,03	0,41	0,85	1,16	1,36	1,36	1,16	0,85	0,41	0,03			7,62	229	
XII						0,02	0,21	0,73	0,91	1,08	1,08	0,91	0,73	0,21	0,02			5,90	183	
Год																		5470		

Таблица 17

Габлица 1 8

Таблица 19

Суммы суммарной солнечной радиации ( $\text{МДж}/\text{м}^2$ ) и альбедо деятельной поверхности (%) при средних условиях облачности

Месяц	За часовой интервал (истинное солнечное время)																За сутки	За месяц	$A_k$				
	3-4ч	4-5ч	5-6ч	6-7ч	7-8ч	8-9ч	9-10ч	10-11ч	11-12ч	12-13ч	13-14ч	14-15ч	15-16ч	16-17ч	17-18ч	18-19ч	19-20ч	20-21ч					
I					0,04	0,26	0,44	0,61	0,74	0,74	0,61	0,44	0,20	0,03					4,11	127	27		
II					0,01	0,20	0,46	0,69	0,90	1,00	1,00	0,84	0,64	0,41	0,18	0,01				6,34	178	25	
III					0,09	0,44	0,82	1,18	1,41	1,59	1,59	1,38	1,13	0,82	0,46	0,12				11,03	342	20	
IV					0,06	0,33	0,79	1,25	1,66	1,94	2,07	2,07	1,87	1,54	1,20	0,82	0,38	0,06		16,04	481	20	
V					0,02	0,26	0,61	1,10	1,59	1,97	2,15	2,20	2,20	2,07	1,82	1,48	1,07	0,64	0,20	0,02	19,40	601	20
VI					0,08	0,41	0,87	1,41	1,92	2,33	2,56	2,63	2,63	2,45	2,10	1,72	1,28	0,82	0,33	0,06	23,60	708	19
VII					0,05	0,33	0,82	1,46	2,02	2,40	2,66	2,76	2,76	2,53	2,15	1,69	1,20	0,72	0,26	0,03	23,84	739	19
VIII					0,00	0,15	0,56	1,15	1,74	2,22	2,48	2,61	2,61	2,38	2,00	1,51	1,00	0,49	0,10	0,00	21,00	651	19
IX					0,01	0,23	0,72	1,28	1,79	2,02	2,12	2,12	1,92	1,54	1,10	0,66	0,26	0,02		15,79	474	20	
X						0,03	0,31	0,77	1,20	1,46	1,54	1,54	1,41	1,07	0,69	0,31	0,04			10,37	321	21	
XI							0,06	0,28	0,56	0,87	0,97	0,97	0,87	0,56	0,28	0,06				5,48	164	21	
XII							0,02	0,15	0,36	0,56	0,64	0,64	0,56	0,36	0,15	0,02				3,46	107	22	
Год																			4893	20			

Таблица 110

Суммы суммарной солнечной радиации ( $\text{МДж}/\text{м}^2$ ) при ясном небе

Месяц	За часовой интервал (истинное солнечное время)																За сутки	За месяц				
	3-4ч	4-5ч	5-6ч	6-7ч	7-8ч	8-9ч	9-10ч	10-11ч	11-12ч	12-13ч	13-14ч	14-15ч	15-16ч	16-17ч	17-18ч	18-19ч	19-20ч	20-21ч				
I					0,07	0,49	0,97	1,30	1,51	1,51	1,30	0,97	0,49	0,07					8,68	269		
II					0,01	0,33	0,87	1,46	1,84	2,04	2,04	1,84	1,46	0,87	0,33	0,01			13,10	367		
III					0,23	0,79	1,46	2,00	2,40	2,61	2,61	2,40	2,00	1,46	0,79	0,23			18,96	588		
IV					0,11	0,59	1,18	1,87	2,50	2,89	3,07	3,07	2,89	2,50	1,87	1,18	0,59	0,11		24,42	733	
V					0,03	0,33	0,90	1,51	2,12	2,68	3,09	3,27	3,27	3,09	2,68	2,17	1,54	0,90	0,33	0,03	27,94	866
VI					0,10	0,49	1,02	1,64	2,25	2,76	3,17	3,32	3,32	3,17	2,76	2,25	1,64	1,02	0,49	0,10	29,50	885
VII					0,05	0,33	0,92	1,51	2,17	2,66	3,04	3,22	3,22	3,04	2,66	2,17	1,51	0,92	0,33	0,05	27,80	862
VIII					0,00	0,20	0,64	1,23	1,89	2,45	2,84	2,99	2,99	2,84	2,45	1,89	1,23	0,64	0,20	0,00	24,48	759
IX					0,02	0,33	0,90	1,54	2,07	2,50	2,68	2,68	2,50	2,07	1,54	0,90	0,33	0,02		20,11	603	
X						0,07	0,51	1,05	1,57	2,04	2,20	2,20	2,04	1,57	1,05	0,51	0,07			14,88	461	
XI							0,13	0,61	1,07	1,46	1,64	1,64	1,46	1,07	0,61	0,13				9,82	295	
XII							0,03	0,38	0,82	1,07	1,18	1,18	1,07	0,82	0,38	0,03				6,96	216	
Год																			6904			

Таблица 1.11

**Суммы рассеянной радиации ( $\text{МДж}/\text{м}^2$ ) при средних условиях облачности**

Таблица 1.12

Радиационный баланс деятельной поверхности ( $\text{МДж}/\text{м}^2$ ) при средних условиях облачности

Таблица 1 13

**Месячные и годовые суммы солнечной радиации, эффективного излучения и радиационного баланса ( $\text{МДж}/\text{м}^2$ )  
при средних условиях облачности (горизонтальная поверхность)**

Виды радиации	Месяцы												Год
	I	II	III	IV	V	VI	VII	VIII	IX	X	XI	XII	
Прямая ( $S'$ )	47	74	157	234	342	418	462	403	289	176	75	40	2717
$\sigma$	14,9	23,7	42,5	57,5	72,2	57,7	61,3	57,9	39,3	32,6	19,2	13,1	224,2
$C_v$	0,32	0,32	0,27	0,25	0,21	0,14	0,13	0,14	0,14	0,19	0,26	0,33	0,08
Рассеянная ( $D$ )	66	95	161	214	255	249	242	215	166	126	79	57	1925
$\sigma$	8,5	12,1	15,9	18,1	24,6	25,3	24,9	22,8	15,4	12,3	9,9	8,2	123,1
$C_v$	0,13	0,13	0,10	0,08	0,10	0,10	0,10	0,11	0,09	0,10	0,13	0,14	0,06
Суммарная ( $Q$ )	113	169	318	448	597	667	704	618	455	302	154	97	4642
$\sigma$	17,0	24,4	41,0	60,7	66,7	44,5	52,1	45,9	37,2	34,1	22,2	17,1	212,8
$C_v$	0,15	0,14	0,13	0,14	0,11	0,07	0,07	0,07	0,08	0,11	0,14	0,18	0,05
Отраженная ( $R_k$ )	30	46	66	91	121	129	133	116	90	63	32	22	939
$\sigma$	7,2	14,1	11,6	11,6	13,1	10,3	12,7	12,6	8,9	7,7	6,5	5,5	41,1
$C_v$	0,24	0,31	0,18	0,13	0,11	0,08	0,10	0,11	0,10	0,12	0,20	0,25	0,04
Эффективное излучение ( $B_d$ )	-74	-77	-119	-127	-143	-152	-176	-180	-164	-149	-98	-77	-1536
$\sigma$	17,6	16,2	25,3	26,4	30,5	27,9	22,5	30,4	22,5	25,8	20,8	18,4	163,2
$C_v$	-0,23	-0,20	-0,21	-0,21	-0,21	-0,18	-0,13	-0,17	-0,14	-0,17	-0,21	-0,24	-0,11
Радиационный баланс ( $B$ )	9	46	133	230	333	386	395	322	201	90	24	-2	2167
$\sigma$	9,1	13,0	21,0	31,2	39,8	30,4	32,0	27,3	21,6	14,8	9,9	9,9	123,8
$C_v$	1,01	0,28	0,16	0,14	0,12	0,08	0,08	0,08	0,11	0,16	0,41	-4,95	0,06
Поглощенная ( $B_k$ )	83	123	252	357	476	538	571	502	365	239	122	75	3703
$\sigma$	15,6	21,9	37,9	51,3	55,4	35,1	41,9	33,5	31,2	29,2	18,6	14,1	180,7
$C_v$	0,19	0,18	0,15	0,14	0,12	0,07	0,07	0,07	0,09	0,12	0,15	0,18	0,05
Альбедо ( $A_k$ )	27	27	21	20	20	19	19	19	20	21	21	23	21
$\sigma$	6,2	7,5	3,3	1,3	1,1	0,8	0,9	1,0	1,0	1,4	2,3	3,4	0,8
$C_v$	0,23	0,28	0,16	0,07	0,06	0,04	0,05	0,05	0,05	0,07	0,11	0,15	0,04
ФАР	56	85	158	222	293	325	339	290	216	141	73	47	2245
$\sigma$	10,3	16,3	26,1	33,9	44,3	39,3	40,7	36,9	25,0	19,5	12,6	9,2	160,1
$C_v$	0,18	0,19	0,17	0,15	0,15	0,12	0,12	0,13	0,12	0,14	0,17	0,20	0,07
Энергетическая освещенность ( $E$ ), кЛк ч	2870	4394	8459	12141	16358	18409	19430	16748	12103	7852	3912	2444	125120
$\sigma$	432,1	634,2	1090,8	1645,5	1827,8	1227,7	1438,9	1243,8	988,4	886,0	564,8	432,0	5896,1
$C_v$	0,15	0,14	0,13	0,14	0,11	0,07	0,07	0,07	0,08	0,11	0,14	0,17	0,05

Таблица 1.14

## Продолжительность солнечного сияния (часы)

30

ГОДЫ	Январь			Ме- сяц	Февраль			Ме- сяц	Март			Ме- сяц	Апрель			Ме- сяц	Май			Ме- сяц	Июнь			Ме- сяц
	I	II	III		I	II	III		I	II	III		I	II	III		I	II	III		I	II	III	
Среднее за 1930-2004 гг.	22	25	27	74	27	31	29	87	41	44	57	142	59	57	68	184	75	79	93	247	95	96	99	290
σ	9	11	11	19	10	11	9	19	13	13	19	30	14	16	16	29	16	18	17	33	15	13	12	25
Отношение средней к возможному, %	25	27	26	26	27	30	33	30	36	37	42	39	46	43	49	46	52	54	56	54	62	62	64	63
Среднее за 1931-1960 гг.	19	22	28	69	22	28	25	75	39	42	61	142	55	56	65	176	71	74	88	233	97	96	97	290
σ	8	8	11	17	9	7	6	12	9	11	22	35	15	15	15	22	16	14	17	38	16	14	12	26
Отношение средней к возможному, %	21	24	27	24	22	27	29	26	35	36	45	39	43	42	47	44	50	50	53	51	63	62	63	63
Среднее за 1961-1990 гг.	23	30	26	79	26	30	29	85	40	46	57	143	62	58	70	190	72	83	96	251	99	95	100	294
σ	8	13	10	22	8	12	9	18	13	15	18	31	14	16	18	30	14	16	18	24	11	14	11	23
Отношение средней к возможному, %	26	33	25	28	26	29	33	29	35	39	42	39	48	43	50	47	50	56	58	55	65	61	65	63
Среднее за 1991-2004 гг.	24	24	27	75	36	37	32	105	46	41	52	139	60	57	68	185	86	78	93	257	86	99	101	286
σ	9	10	11	19	9	13	8	17	14	11	16	19	12	16	15	32	21	26	16	48	14	9	15	28
Отношение средней к возможному, %	27	26	26	26	36	36	37	36	41	35	38	38	47	43	49	46	60	53	56	56	56	64	65	62

ГОДЫ	Июль			Ме- сяц	Август			Ме- сяц	Сентябрь			Ме- сяц	Октябрь			Ме- сяц	Ноябрь			Ме- сяц	Декабрь			Ме- сяц	Год
	I	II	III		I	II	III		I	II	III		I	II	III		I	II	III		I	II	III		
Среднее за 1930-2004 гг.	103	110	117	330	103	100	103	306	87	85	75	247	66	57	55	178	43	35	28	106	26	22	26	74	2265
σ	10	9	13	20	12	13	12	26	12	12	12	25	11	13	13	26	12	12	10	21	10	8	8	16	107
Отношение средней к возможному, %	67	72	72	70	72	71	69	71	67	68	63	66	57	52	48	52	43	36	30	37	29	25	27	27	51
Среднее за 1931-1960 гг.	99	111	121	331	103	107	108	318	89	85	78	252	61	56	54	171	38	31	26	95	28	22	23	73	2225
σ	9	10	11	19	11	11	9	23	10	11	12	24	15	14	13	31	10	11	10	20	11	8	6	18	117
Отношение средней к возможному, %	64	73	74	71	72	76	72	73	68	68	65	67	53	51	47	50	38	32	28	33	31	25	24	27	50
Среднее за 1961-1990 гг.	104	109	114	327	102	96	103	301	89	86	73	248	68	63	57	188	43	37	31	111	27	22	26	75	2292
σ	10	8	13	19	12	11	12	25	12	10	11	22	11	12	12	23	11	12	9	23	9	7	9	16	105
Отношение средней к возможному, %	68	72	70	70	71	69	69	70	68	69	61	66	59	57	50	55	43	39	34	39	30	25	27	27	52
Среднее за 1991-2004 гг.	108	108	118	334	102	99	96	297	79	83	72	234	71	48	52	171	47	33	24	104	21	23	28	72	2259
σ	13	10	13	23	11	17	11	29	12	17	12	31	9	12	12	28	11	12	8	17	9	10	9	15	91
Отношение средней к возможному, %	70	71	72	71	71	71	64	69	61	66	60	62	62	44	45	50	47	34	26	36	24	26	29	26	51

Таблица 2.1

**Таблица сравнения метеорологических элементов по данным наблюдений на метеоплощадках метеостанций  
«Никитский сад» (высота 92 м н.у.м.) и «Мартъян» (высота 208 м н.у.м.)**

Метеостанция	Метеоэлементы	I	II	III	IV	V	VI	VII	VIII	IX	X	XI	XII	Год
Никитский сад	Средняя месячная температура воздуха, °C	4,4	3,2	7,9	11,7	16,3	19,3	23,8	24,7	19,4	15,0	11,3	5,8	13,6
Мартъян		3,5	2,2	7,2	11,3	15,7	18,6	23,0	23,9	18,6	14,2	10,6	4,9	12,8
	Отклонение	0,9	1,0	0,7	0,4	0,6	0,7	0,8	0,8	0,8	0,8	0,7	0,9	0,8
Никитский сад	Максимальная температура воздуха, °C	14,4	16,0	19,3	24,9	27,9	30,5	33,5	34,6	26,8	23,5	19,5	16,4	34,6
Мартъян		14,5	15,0	19,0	23,4	26,5	29,0	32,5	33,3	26,4	22,6	20,0	15,0	33,3
	Отклонение	-0,1	1,0	0,3	1,5	1,4	1,5	1,0	1,3	0,4	0,9	-0,5	1,4	1,3
Никитский сад	Минимальная температура воздуха, °C	-2,3	-14,1	-2,0	2,3	7,8	8,3	16,0	13,4	12,0	5,0	0,3	-6,3	-14,1
Мартъян		-3,3	-14,6	-2,3	2,4	7,6	8,3	15,0	13,2	11,8	5,9	-0,5	-6,1	-14,6
	Отклонение	1,0	0,5	0,3	-0,1	0,2	0,0	1,0	0,2	0,2	-0,9	0,8	-0,2	0,5
Никитский сад	Абсолютная влажность воздуха, мм	5,3	4,1	5,5	7,4	9,4	10,3	11,6	12,2	10,2	8,7	6,9	5,5	8,1
Мартъян		5,1	4,0	5,2	6,5	8,8	9,6	10,9	11,3	9,6	8,4	6,6	5,3	7,6
	Отклонение	0,2	0,1	0,3	0,9	0,6	0,7	0,7	0,9	0,6	0,3	0,3	0,2	0,5
Никитский сад	Относительная влажность воздуха, %	83	68	69	68	68	61	53	53	60	67	67	75	66
Мартъян		86	70	69	66	67	60	52	52	60	68	67	77	66
	Отклонение	-3	-2	0	2	1	1	1	1	0	-1	0	-2	0
Никитский сад	Осадки, мм	46,5	28,2	26,8	13,9	30,6	34,8	17,2	48,6	22,0	67,7	43,9	31,2	411,4
Мартъян		57,0	27,8	27,4	13,3	28,3	40,8	15,2	46,2	25,6	70,1	38,8	33,8	424,3
	Отклонение	-10,5	0,4	-0,6	0,6	2,3	-6,0	2,0	2,4	-3,6	-2,4	5,1	-2,6	-12,9

Таблица 2.2

## Средняя месячная и годовая температура воздуха °C

Период	Показатели	I	II	III	IV	V	VI	VII	VIII	IX	X	XI	XII	Холодный период	Теплый период	Год
1930-2004 I Г	Наиболее высокая	7,2	7,3	8,5	14,3	19,3	23,3	27,4	25,7	22,8	17,2	12,2	10,0	7,7	19,3	14,0
	Год	1948	1977	1937	1950	1968	1975	2001	2001	1994	1974	1966	1960	1966	1975	1966
	Средняя	3,1	3,1	5,0	10,1	15,2	19,9	23,2	23,0	18,5	13,3	8,7	5,3	5,0	17,6	12,4
	σ	1,6	1,5	1,4	1,3	1,1	1,1	1,3	1,0	1,2	1,3	1,5	1,5	0,8	0,6	0,6
	Наиболее низкая	-2,2	-2,5	1,0	7,0	12,5	16,9	20,2	20,4	15,3	8,9	2,8	1,6	2,9	15,8	10,8
1931-1960 II	Год				1942									1948		
	Наиболее высокая	7,2	6,2	8,5	14,3	17,6	23,1	26,4	25,4	22,1	16,9	11,6	10,0	6,6	18,9	13,6
	Год	1948	1955	1937	1950	1950	1946	1938	1946	1937	1955	1949	1960	1960	1938	1937
	Средняя	3,0	2,9	4,5	9,7	15,0	20,0	23,4	23,2	18,7	13,4	8,7	5,4	4,9	17,6	12,3
	σ	2,1	1,5	1,2	1,1	1,2	1,1	1,2	0,9	1,5	1,7	1,7	1,8	0,9	0,6	0,6
1961-1990 II	Наиболее низкая	-2,2	-2,5	1,3	7,0	12,6	16,9	21,0	21,2	15,3	8,9	3,5	1,6	2,9	15,8	10,8
	Год	1950	1954	1942	1942	1940	1933	1943	1960	1959	1951	1953	1948	1956	1933	1956
	Наиболее высокая	6,1	7,3	7,7	13,2	19,3	23,3	25,1	24,4	20,8	17,2	12,2	8,7	7,7	19,3	14,0
	Год	1971	1977	1962	1972	1968	1975	1988	1971	1975	1974	1966	1981	1966	1975	1966
	Средняя	3,1	3,3	5,3	10,5	15,3	19,9	22,7	22,6	18,4	13,0	8,9	5,5	5,2	17,5	12,4
1991-2004 II	σ	1,4	1,5	1,1	1,4	1,1	1,2	1,1	1,2	0,9	1,3	1,2	1,2	0,7	0,6	0,5
	Наиболее низкая	-1,5	-1,9	1,0	7,0	12,5	18,1	20,2	20,4	16,4	9,9	5,3	2,9	3,3	16,1	11,0
	Год	1972	1985	1987	1965	1964	1985	1985	1973	1985	1976	1988	1977	1985	1987	1987
	Наиболее высокая	5,1	6,4	7,7	13,2	18,3	21,8	27,4	25,7	22,8	15,9	11,5	7,6	6,5	18,8	13,3
	Год	2004	2002	2001	2000	2003	1999	2001	2001	1994	1994	1996	1999	1999	1994	2002
	Средняя	3,4	3,1	5,3	10,3	15,5	19,9	23,8	23,4	18,3	13,5	8,4	4,6	5,0	17,8	12,5
	σ	1,0	1,4	1,3	1,3	1,2	0,9	1,6	1,0	1,3	0,8	1,4	1,5	0,8	0,6	0,6
	Наиболее низкая	1,3	0,8	2,9	8,1	13,5	18,4	21,3	21,5	15,5	11,8	2,8	1,6	3,6	16,5	11,2
	Год	2000	2003	2003	2003	1999	2001	1993	1997	1997	1997	1993	2002	1993	1997	1993

Таблица 2.3

Средняя месячная и годовая температура воздуха ( $^{\circ}\text{C}$ ) по десятилетним периодам

Период	I	II	III	IV	V	VI	VII	VIII	IX	X	XI	XII	Год
1931-1940 гг.	3,0	2,8	5,3	9,6	14,7	20,1	24,1	23,1	18,9	14,1	9,0	4,9	12,5
1941-1950 гг.	1,6	3,1	4,0	10,1	15,8	20,2	22,7	22,9	18,8	12,5	8,5	5,3	12,1
1951-1960 гг.	4,1	2,9	4,0	9,5	14,6	19,8	23,3	23,4	18,4	13,3	8,4	5,8	12,3
1961-1970 гг.	3,2	3,7	5,4	10,6	15,4	20,1	23,1	22,8	18,7	13,4	10,0	6,1	12,7
1971-1980 гг.	2,3	3,4	5,5	10,6	15,3	20,1	22,5	22,3	18,2	12,7	8,7	5,3	12,2
1981-1990 гг.	3,7	2,8	5,0	10,2	15,4	19,3	22,7	22,7	18,4	13,0	7,9	5,1	12,2
1991-2000 гг.	3,1	2,8	5,0	10,4	15,2	19,9	23,6	23,3	18,0	13,5	8,0	4,9	12,3
2001-2004 гг.	4,1	3,7	6,2	10,0	16,1	19,7	24,4	23,6	19,1	13,7	9,3	3,9	12,8

Таблица 2.4

Максимальная температура воздуха за различные периоды ( $^{\circ}\text{C}$ )

Период	Показатели	I	II	III	IV	V	VI	VII	VIII	IX	X	XI	XII	Год
1930-2004 гг.	Средний из абсолютных	12,7	13,3	16,9	21,5	25,6	29,0	31,7	31,2	27,4	23,0	18,8	15,3	32,6
	$\sigma$	1,6	2,3	2,4	2,2	1,6	1,7	1,8	1,6	1,8	1,7	2,1	2,0	1,3
	Абсолютный	16,6	18,4	28,3	27,2	31,6	32,7	37,0	39,0	33,3	32,2	24,7	20,1	39,0
	Год	1971	1977	1952	1972	1993	1946	1971	1998	1994	1999	2001	1937	1998
1931-1960 гг.	Средний из абсолютных	12,6	12,7	16,7	21,1	25,2	29,1	31,6	31,1	27,5	22,9	18,8	15,5	32,2
	$\sigma$	1,6	2,4	2,6	2,1	1,7	1,9	1,4	1,4	2,0	1,5	2,1	2,1	1,1
	Абсолютный	16,5	18,2	28,3	25,7	30,2	32,7	35,2	35,1	32,4	28,3	22,5	20,1	35,2
	Год	1960	1955	1952	1932	1950	1946	1936	1936	1944	1931	1933	1937	1936
1961-1990 гг.	Средний из абсолютных	12,5	13,8	16,8	21,9	25,7	28,6	31,2	30,6	27,4	22,4	18,9	15,3	32,3
	$\sigma$	1,7	2,5	1,7	2,4	1,1	1,7	2,0	1,5	1,6	1,4	2,0	1,8	1,2
	Абсолютный	16,6	18,4	22,6	27,2	28,8	31,8	37,0	33,5	30,5	26,4	24,5	19,6	37,0
	Год	1971	1977	1962	1972	1985	1963	1971	1962	1982	1962	1966	1976	1971
1991-2004 гг.	Средний из абсолютных	13,3	13,5	17,6	21,4	26,2	29,5	32,9	32,5	27,3	24,7	18,7	14,8	33,9
	$\sigma$	1,5	1,6	3,1	2,0	2,5	1,2	1,9	2,2	1,8	2,4	2,2	2,0	1,5
	Абсолютный	15,4	16,5	23,2	26,6	31,6	32,6	36,3	39,0	33,3	32,2	24,7	18,0	39,0
	Год	2001	1995	2002	1998	1993	1995	1998	1998	1994	1999	2001	1995	1998

Таблица 2.5

Среднее многолетнее число дней с максимальной температурой воздуха ( $^{\circ}\text{C}$ ) разных интервалов в теплый период

Период	Температура, $^{\circ}\text{C}$	Май			Июнь			Июль			Август			Сентябрь			Октябрь		
		I	II	III	I	II	III	I	II	III	I	II	III	I	II	III	I	II	III
1930-2004 гг.	< 20	8,0	6,8	5,8	3,5	1,7	0,6	0,3	0,2	0,1	0,1	0,3	1,3	3,1	5,0	7,3	8,7	10,1	
	21-25	1,8	2,7	4,6	5,1	5,7	5,1	4,3	3,0	2,6	2,3	3,3	5,5	6,1	5,6	4,6	2,5	1,2	0,8
	26-30	0,1	0,5	0,6	1,4	2,4	4,1	4,5	5,7	6,8	6,4	5,9	4,6	2,5	1,2	0,4	0,2	0,03	0,03
	31-35			0,01	0,03	0,1	0,2	0,9	1,1	1,4	1,2	0,8	0,6	0,1	0,03		0,01		
	>35							0,01	0,1	0,03									
1931-1960 гг.	< 20	7,9	7,4	6,0	3,8	1,8	0,7	0,3	0,1	0,1	0,1	0,3	1,2	3,4	5,0	7,7	8,8	10,0	
	21-25	2,0	2,3	4,5	5,0	5,9	5,2	4,5	2,9	1,9	2,6	2,8	5,3	5,8	5,4	4,6	2,3	1,2	0,9
	26-30	0,1	0,4	0,6	1,2	2,2	3,8	4,4	6,0	7,6	6,6	6,4	5,0	2,9	1,2	0,3	0,1		0,04
	31-35				0,04	0,2	0,3	0,8	1,0	1,4	0,8	0,8	0,5	0,1	0,04				
	>35									0,04									
1961-1990 гг.	< 20	8,6	6,3	5,7	3,2	2,2	0,8	0,4	0,2	0,1	0,1	0,4	1,1	3,1	5,3	7,5	9,0	10,2	
	21-25	1,3	3,1	4,7	5,0	5,3	4,8	4,8	3,4	3,6	2,8	4,3	6,1	6,2	5,8	4,4	2,5	1,0	0,6
	26-30	0,1	0,5	0,5	1,8	2,3	4,3	4,3	5,6	6,3	6,2	5,0	3,9	2,6	1,1	0,3	0,03		0,03
	31-35					0,03	0,1	0,1	0,6	0,9	1,0	1,0	0,6	0,6	0,03				
	>35									0,1									
1991-2004 гг.	< 20	7,3	6,7	5,6	3,2	0,6	0,3	0,2	0,2					1,6	2,6	4,6	6,2	8,1	10,3
	21-25	2,6	2,6	4,5	5,6	6,1	5,4	2,6	2,5	1,9	0,9	2,2	5,1	6,6	5,6	4,7	3,1	1,8	0,7
	26-30	0,1	0,6	0,9	1,1	3,2	4,1	5,4	5,4	6,4	6,8	6,8	5,4	1,9	1,7	0,6	0,6	0,1	
	31-35				0,1		0,1	0,1	1,9	1,8	2,4	2,2	1,0	0,6		0,1	0,1		
	>35									0,1	0,2	0,1							

Таблица 2.6

Минимальная температура воздуха ( $^{\circ}\text{C}$ ) за различные периоды

Период	Показатели	I	II	III	IV	V	VI	VII	VIII	IX	X	XI	XII	Год
1930-2004 гг.	Средний из абсолютных	-6,0	-6,1	-3,5	1,7	7,1	11,9	15,5	15,3	10,1	4,1	-0,5	-3,9	-8,1
	$\sigma$	2,6	2,6	2,1	1,7	1,4	1,4	1,5	1,4	1,6	2,3	2,8	2,2	2,0
	Абсолютный	-13,2	-14,6	-11,1	-5,7	1,4	7,1	9,9	10,1	3,7	-0,8	-9,2	-10,3	-14,6
	Год	1940	1930	1942	1965	1940	1958	1985	1949	1977	1973, 1976	1931	1933	1930
1931-1960 гг.	Средний из абсолютных	-6,1	-6,5	-4,5	1,4	7,0	11,9	15,8	15,6	10,0	4,7	-1,1	-4,0	-8,7
	$\sigma$	2,8	2,4	2,1	1,6	1,3	1,5	1,5	1,5	1,6	2,4	3,6	2,6	1,8
	Абсолютный	-13,2	-13,8	-11,1	-4,4	1,4	7,1	11,3	10,1	4,5	-0,1	-9,2	-10,3	-13,8
	Год	1940	1932	1942	1931	1940	1958	1933	1949	1931	1946	1931	1933	1932
1961-1990 гг.	Средний из абсолютных	-6,5	-5,6	-3,2	2,3	7,3	12,1	15,1	14,8	9,9	3,9	0,0	-3,3	-7,9
	$\sigma$	2,5	2,5	2,0	1,7	1,4	1,3	1,3	1,1	1,5	2,4	2,2	1,8	2,3
	Абсолютный	-11,6	-14,5	-8,5	-5,7	3,2	9,0	9,9	11,6	3,7	-0,8	-5,6	-7,0	-14,5
	Год	1964	1976	1985	1965	1985	1962	1985	1970	1977	1973, 1976	1988	1987	1976
1991-2004 гг.	Средний из абсолютных	-5,1	-5,4	-2,4	1,0	7,0	11,6	16,0	15,6	10,6	2,9	-0,4	-4,7	-7,0
	$\sigma$	2,2	2,4	1,3	1,4	1,6	1,2	1,6	1,2	1,7	1,8	2,4	1,8	1,4
	Абсолютный	-10,4	-10,6	-5,2	-5,5	4,0	8,8	11,6	13,0	8,0	-0,3	-6,3	-8,4	-10,6
	Год	2002	1994	1997, 2004	2004	1994	1997	1993	1993	1993	2001	1993	2002	1994

Габлица 2.7

## Число дней с морозом

Год	I	II	III	IV	X	XI	XII	Год
Среднее 1930-2004 гг.	12	11	9	0	0	3	7	42
σ	5,8	4,7	4,8	0,7	0,3	2,8	4,1	10,9
Среднее 1931-1960 гг.	12	11	11	0	0	3	7	44
σ	7,3	4,9	5,0	0,7	0,2	3,2	5,0	11,9
Среднее 1961-1990 гг.	12	11	7	1	0	2	6	39
σ	5,2	4,7	4,2	0,8	0,5	2,0	2,9	11,3
Среднее 1991-2004 гг.	12	12	8	1	0	3	10	46
σ	4,4	3,9	3,9	0,8	0,3	3,5	4,4	8,7

Таблица 2.8

## Даты первого и последнего заморозка в воздухе и продолжительность безморозного периода

Годы	Дата заморозка										Продолжительность безморозного периода (дни)							
	последнего весной					первого осенью					наи- большая	год	сред- няя	σ (дни)	наи- меньшая	год		
	самая ранняя	год	сред- няя	σ (дни)	самая поздняя	год	самая ранняя	год	сред- няя	σ (дни)	самая поздняя	год	наи- большая	год	наи- меньшая	год		
1930-2004 гг.	15.II	1983	20.III	10	15.IV	1933	7.X	1978	27.XI	18	17.I*	1960	309	1960	251	20	178	2001
1931-1960 гг.	19.II	1951	24.III	10	15.IV	1933	23.X	1945	1.XII	18	17.I*	1960	309	1960	251	22	211	1931
1961-1990 гг.	15.II	1983	15.III	10	8.IV	1978	7.X	1978	25.XI	19	11.I*	1966	295	1966	254	19	205	1977
1991-2004 гг.	9.III	1992	21.III	8	11.IV	1997	25.X	2001	22.XI	16	17.XII	1996	287	2002	245	18	178	2001

\*Следующего года

Таблица 2.9

## Даты первого и последнего заморозка на поверхности почвы и продолжительность безморозного периода

Годы	Дата заморозка										Продолжительность безморозного периода (дни)							
	Последнего весной					Первого осенью					наи- большая	год	сред- няя	σ (дни)	наи- меньшая	год		
	самая ранняя	год	сред- няя	σ (дни)	самая поздняя	год	самая ранняя	год	сред- няя	σ (дни)	самая поздняя	год	наи- большая	год	наи- меньшая	год		
1930-2004 гг.	24.III	1957	11.IV	8	7.V	1933	29.IX	1977	7.XI	15	17.XII	1966	256	1966	209	17	169	1946
1931-1960 гг.	24.III	1957	13.IV	7	7.V	1933	4.X	1946	10.XI	14	8.XII	1949	242	1954	210	16	169	1946
1961-1990 гг.	25.III	1985	10.IV	9	1.V	1981	29.IX	1977	3.XI	15	17.XII	1966	256	1966	206	17	170	1971
1991-2004 гг.	1.IV	1991	14.IV	8	30.IV	2001	19.X	1994	8.XI	14	16.XII	1996	244	1996	207	17	177	2001

Таблица 2 10

## Климатическая характеристика теплого периода

Годы	Средние многолетние даты перехода температур												Продолжительность периода между переходами температур (дни)						
	весной						осенью												
	температура выше	самая ранняя	год	сред- няя	σ (дни)	самая позд- няя	год	самая ранняя	год	сред- няя	σ (дни)	самая позд- няя	год	наи- боль- шая	год	сред- няя	σ (дни)	наи- мень- шая	год
1930-2004 гг	5°	18.I	1966	14.III	14	8.IV	1942	9.XI	1988	18.XII	16	23.II	1955	360	1947	279	22	225	1945
	10°	25.III	1947	15.IV	9	3.V	1985	5.X	1951	7.XI	11	8.XII	1996	245	1966	206	15	169	1977
	15°	17.IV	1950	15.V	9	29.V	1959	16.IX	1996	9.X	11	8.XI	1967	182	1954	146	12	106	1956
1931-1960 гг	5°	11.II	1947	21.III	10	8.IV	1942	12.XI	1941	18.XII	18	23.II	1955	360	1947	272	24	225	1945
	10°	25.III	1947	16.IV	7	30.IV	1954	5.X	1951	10.XI	10	1.XII	1949	230	1950	208	12	176	1951
	15°	17.IV	1950	18.V	11	29.V	1959	4.X	1956	11.X	13	30.X	1954 1955	182	1954	146	15	106	1956
1961-1990 гг	5°	18.I	1966	9.III	14	29.III	1967	9.XI	1988	20.XII	15	14.II	1981	343	1966	286	19	245	1963
	10°	26.III	1983	13.IV	10	3.V	1985	16.X	1976 1977	5.XI	11	6.XII	1966	245	1966	206	18	169	1977
	15°	22.IV	1966	13.V	6	29.V	1964	21.IX	1961	7.X	10	8.XI	1967	176	1967	147	10	120	1980
1991-2004 гг	5°	23.I	2002	9.III	17	3.IV	2003	10.XI	1993	12.XII	13	13.I	2001	323	2000	278	20	236	1993
	10°	2.IV	2000	16.IV	9	2.V	2003	17.X	1999	7.XI	11	8.XII	1996	235	2000	205	16	185	1993
	15°	27.IV	2000	14.V	10	7.VI	2001	16.IX	1996	6.X	9	24.X	1991	169	2000	145	10	128	2001

Таблица 2.11

**Средние многолетние суммы активных температур воздуха ( $^{\circ}\text{C}$ ) выше 5, 10, 15 и 20 $^{\circ}\text{C}$**

**нарастающим итогом на последний день месяца**

Показатель	I	II	III	IV	V	VI	VII	VIII	IX	X	XI	XII
5 $^{\circ}$	76	139	258	556	1030	1628	2348	3059	3614	4024	4272	4409
10 $^{\circ}$	5	14	48	236	693	1295	2015	2726	3279	3645	3794	3833
15 $^{\circ}$	0	0	4	56	341	920	1639	2349	2852	3025	3040	3040
20 $^{\circ}$	0	0	0	3	61	377	1028	1658	1860	1871	1871	1871

Таблица 2.12

**Средние многолетние суммы эффективных температур воздуха ( $^{\circ}\text{C}$ ) выше 5, 10, 15 и 20 $^{\circ}\text{C}$**

**нарастающим итогом на последний день месяца**

Показатель	I	II	III	IV	V	VI	VII	VIII	IX	X	XI	XII
5 $^{\circ}$	23	44	88	245	564	1012	1577	2133	2538	2795	2921	2974
10 $^{\circ}$	0	1	7	53	219	516	926	1328	1583	1698	1728	1733
15 $^{\circ}$	0	0	0	7	53	202	453	704	815	836	837	838
20 $^{\circ}$	0	0	0	0	5	35	156	264	279	281	281	281

Таблица 2.13

**Средняя месячная температура воздуха ( $t_{cp}$ ) и суммы средних суточных температур выше 10 $^{\circ}\text{C}$  ( $\sum t_a > 10^{\circ}\text{C}$ ) нарастающим итогом в течение активной вегетации на высотах 92 и 208 м над уровнем моря**

Показатель	I	II	III	IV	V	VI	VII	VIII	IX	X	XI	XII	Год
Высота 92 м													
$t_{cp}$	4,0	4,1	5,7	10,5	15,8	20,6	24,0	23,8	19,3	14,1	9,4	6,2	13,2
$\sum t_a > 10^{\circ}\text{C}$				211	700	1318	2062	2800	3379	3816	3936		
Высота 208 м													
$t_{cp}$	3,1	3,1	5,0	10,1	15,2	19,9	23,2	23,0	18,5	13,3	8,7	5,3	12,4
$\sum t_a > 10^{\circ}\text{C}$				185	656	1253	1972	2685	3240	3653	3715		

Таблица 2.14

**Обеспеченность (%) сумм активных температур воздуха выше 10°C, необходимых для различной специализации виноградно-винодельческой промышленности в районе агрометеостанции «Никитский сад» на высотах 92 и 208 м над уровнем моря**

Высота над уровнем моря, м	Средний многолетний уровень теплообеспеченности на 31.Х	Столовые сорта винограда		Крепкие вина 2500 °C 3000 °C 3600 °C	Десертные вина	
		ранние	средние		сахаристые 3800 °C	высокосахаристые 4000 °C
		2500 °C	3000 °C		3800 °C	4000 °C
92	3816 °C	100	100	83	54	21
208	3653 °C	100	100	62	25	5

Таблица 2.15

**Средняя многолетняя температура поверхности почвы, °C**

Показатель	I	II	III	IV	V	VI	VII	VIII	IX	X	XI	XII	Холодный период (XI-III)	Теплый период (IV-X)	Год
Средняя	2	3	6	13	20	25	29	27	21	14	8	4	5	21	14
σ	1,6	1,7	1,4	1,8	1,7	1,4	1,6	1,6	1,6	1,4	1,3	1,3	0,8	0,9	1,3
Средний максимум	18	22	32	42	51	56	57	56	49	39	28	19	24	50	39
σ	2,2	3,2	3,1	3,7	2,9	2,5	2,8	2,7	2,8	3,2	2,9	2,1	1,5	2,6	2,9
Абсолютный максимум	24	32	41	50	59	61	64	63	54	48	35	27	41	64	64
Год	2002	1989	1960 1983	1950 1968	1968	1937 1975 1995	1965	1998	1969 1994 2003 2004	1994	1966	1972	1960 1983 2000	1965	1965
Средний минимум	-9	-10	-7	-2	4	9	13	12	6	1	-3	-7	-7	6	1
σ	3,4	3,2	2,8	1,8	1,7	1,6	1,6	1,3	1,7	2,4	2,9	2,5	1,6	0,8	1,0
Абсолютный минимум	-18	-20	-18	-8	-3	4	9	7	-1	-5	-12	-17	-20	-8	-20
Год	1942 1950 1982	1930 1976 1985	1985	1933	1933	1930	1933	1980	1977	1946 1993 1997	1932	2002	1930 1976 1985	1933	1930 1976 1985

Таблица 2.16

Средняя месячная температура почвы ( $^{\circ}\text{C}$ ) на различной глубине (по Савиновским термометрам)

Глубина, см	Показатель	III	IV	V	VI	VII	VIII	IX	X	XI
5	Средняя	6,5	12,6	18,6	23,6	27,0	26,2	21,1	14,4	8,8
	$\sigma$	1,1	1,5	1,5	1,3	1,5	1,5	1,5	1,4	1,2
10	Средняя	6,4	12,2	18,3	23,1	26,5	25,9	21,0	14,8	9,2
	$\sigma$	1,0	1,4	1,3	1,2	1,3	1,4	1,3	1,3	1,2
15	Средняя	6,4	12,1	17,9	22,7	26,0	25,6	21,1	15,0	9,6
	$\sigma$	1,0	1,4	1,3	1,2	1,3	1,3	1,3	1,2	1,1
20	Средняя	6,5	11,8	17,4	22,3	25,7	25,5	21,2	15,4	10,0
	$\sigma$	1,0	1,3	1,3	1,1	1,2	1,2	1,2	1,2	1,1

Таблица 2.17

Средняя месячная температура почвы ( $^{\circ}\text{C}$ ) на различной глубине (по вытяжным термометрам)

Глубина, см	Показатель	I	II	III	IV	V	VI	VII	VIII	IX	X	XI	XII	Холодный период (XI-III)	Теплый период (IV-X)	Год
0,4	Средняя	5,4	5,0	6,7	11,0	15,6	20,7	24,4	25,0	21,7	16,5	11,5	7,4	7,2	19,3	14,2
	$\sigma$	1,1	1,0	1,0	1,0	1,1	1,3	1,4	1,2	1,2	1,1	0,9	1,1	0,7	0,8	0,6
0,8	Средняя	7,2	6,3	7,1	10,1	14,0	18,0	21,7	23,2	21,4	17,7	13,4	9,6	8,7	18,0	14,1
	$\sigma$	0,9	0,8	0,8	0,8	0,8	1,0	1,1	1,1	0,9	0,9	0,8	0,9	0,6	0,8	0,6
1,2	Средняя	8,9	7,7	7,8	9,9	12,8	16,3	19,5	21,5	20,8	18,2	14,8	11,4	10,1	17,0	14,1
	$\sigma$	0,6	0,6	0,8	0,7	0,6	0,6	0,6	0,8	0,8	0,7	0,7	0,7	0,5	0,6	0,6
1,6	Средняя	9,9	8,5	8,2	9,7	12,2	15,2	18,1	20,3	20,3	18,4	15,6	12,4	10,9	16,3	14,1
	$\sigma$	0,7	0,7	0,6	0,6	0,6	0,7	0,9	0,9	0,8	0,7	0,6	0,7	0,6	0,7	0,6
2,4	Средняя	12,1	10,5	9,9	10,2	11,6	13,6	15,9	17,9	18,7	18,2	16,5	14,5	12,7	15,2	14,1
	$\sigma$	0,5	0,3	0,4	0,4	0,4	0,4	0,5	0,5	0,6	0,5	0,4	0,4	0,7	0,6	0,7
3,2	Средняя	13,1	11,6	10,6	10,6	11,4	12,9	14,7	16,4	17,6	17,5	16,6	15,0	13,4	14,4	14,0
	$\sigma$	0,5	0,5	0,5	0,4	0,4	0,4	0,4	0,4	0,5	0,4	0,4	0,4	0,5	0,5	0,5

Таблица 2.18

## Многолетняя характеристика глубины промерзания почвы (см) (по визуальным наблюдениям)

Показатель	Ноябрь			Декабрь			Январь			Февраль			Март		
	I	II	III	I	II	III	I	II	III	I	II	III	I	II	III
Средняя многолетняя	1	0	2	2	3	3	4	7	9	7	4	4	4	3	1
σ	0,8	0,7	1,8	1,7	2,5	2,5	3,6	5,0	5,0	6,1	3,9	3,8	3,2	2,6	1,6
Средняя из наблюдавшихся	4	3	4	3	5	4	7	9	9	9	6	6	5	5	4
σ	2,8	2,6	1,8	1,8	1,8	1,9	3,5	4,4	4,7	6,0	4,2	3,5	3,1	2,2	1,5
Наибольшая	9	9	8	7	8	10	15	>20*	21	23	16	16	13	10	8
Год	1956	1956	1956	1955	1957	1961	1977	1972	1950	1950	1972	1965	1963	1963	1969

\*По Савиновским термометрам

Таблица 2.19

## Средняя многолетняя месячная и годовая абсолютная влажность воздуха

Показатели	I	II	III	IV	V	VI	VII	VIII	IX	X	XI	XII	Холодный период (XI-III)	Теплый период (IV-X)	Год
Средняя за 1930-2004 гг.	5,9	5,8	6,2	8,1	11,1	14,0	15,4	15,2	12,7	10,4	8,4	6,7	6,6	12,4	10,0
σ	0,8	0,8	0,7	0,8	1,0	1,2	1,2	1,3	1,2	1,2	1,2	0,9	0,5	0,7	0,5
Средняя за 1931-1960 гг.	5,7	5,6	5,7	7,6	10,9	13,7	15,1	14,9	12,1	10,2	8,2	6,6	6,4	12,1	9,7
σ	1,0	0,8	0,6	0,8	1,1	1,4	1,3	1,5	1,3	1,5	1,5	1,1	0,6	0,9	0,7
Средняя за 1961-1990 гг.	5,9	6,0	6,5	8,3	11,4	14,0	15,4	15,0	12,9	10,4	8,7	6,9	6,8	12,5	10,1
σ	0,7	0,7	0,6	0,7	0,8	0,9	0,8	0,9	0,9	1,0	1,0	0,7	0,4	0,3	0,3
Средняя за 1991-2004 гг.	6,2	5,8	6,5	8,6	11,2	15,0	16,6	16,5	13,6	11,1	8,6	6,7	6,8	13,2	10,5
σ	0,6	0,7	0,6	0,9	0,9	1,6	1,0	1,0	1,1	0,7	1,0	0,7	0,4	0,4	0,4

Таблица 2.20

## Средняя многолетняя месячная и годовая относительная влажность воздуха

Показатели	I	II	III	IV	V	VI	VII	VIII	IX	X	XI	XII	Холодный период (XI-III)	Теплый период (IV-X)	Год
Средняя за 1930-2004 гг.	76	74	71	67	66	62	56	56	60	68	74	75	74	62	67
σ	3,8	4,0	3,9	4,4	4,7	5,0	3,7	4,4	3,8	3,7	4,1	3,2	2,1	2,0	1,7
Средняя за 1931-1960 гг.	76	75	71	67	68	62	57	56	59	69	75	75	74	63	68
σ	3,2	4,3	4,0	4,1	5,0	4,7	4,7	3,7	3,2	4,3	3,5	3,7	2,0	2,1	1,7
Средняя за 1961-1990 гг.	74	74	72	67	66	61	56	55	61	67	74	74	74	62	67
σ	3,2	3,7	4,2	4,6	4,1	4,8	2,9	4,3	3,9	3,1	4,2	3,0	2,3	1,7	1,6
Средняя за 1991-2004 гг.	77	73	72	69	65	65	57	58	63	70	74	76	74	64	68
σ	4,7	3,4	2,6	4,4	5,3	5,4	3,6	5,9	3,6	3,3	4,4	2,6	1,8	1,8	1,4

Таблица 2.21

Число дней с туманом и относительной влажностью воздуха  $\geq 80\%$ 

Показатели	I	II	III	IV	V	VI	VII	VIII	IX	X	XI	XII	Холодный период (XI-III)	Теплый период (IV-X)	Год	
	13	15	20	16	18	6	2	1	2	7	11	12	42	28	70	
Число дней с туманом	Наибольшее 1930-2004 гг.	13	15	20	16	18	6	2	1	2	7	11	12	42	28	70
	Год						1930									
				19631			1980	1941							1940	
						1932	1983	1963							1941	
		1970	1942	1951	982	1957	1949	1985	1968	1988	1997	1968	1950	1987	1987	1987
	Среднее 1930-2004 гг.	4	5	5	7	6	1	0	0	0	1	3	3	20	15	35
	$\sigma$	2,4	2,5	2,9	3,0	2,8	1,1	0,3	0,1	0,2	1,1	2,1	2,4	5,9	4,6	8,6
	Среднее 1931-1960 гг.	4	5	4	6	7	1	0	0	0	1	2	3	18	15	33
	$\sigma$	2,5	2,9	2,8	2,4	2,8	1,1	0,3	0,1	0,2	1,0	1,6	2,4	5,9	4,8	8,9
	Среднее 1961-1990 гг.	4	5	7	8	7	1	0	0	0	1	4	4	24	17	41
Число дней с относительной влажностью воздуха $\geq 80\%$	$\sigma$	2,2	2,4	2,6	3,4	2,6	1,2	0,4	0,1	0,2	0,9	2,6	2,3	5,8	4,1	7,6
	Среднее 1991-2004 гг.	4	4	4	6	4	1	0	0	0	2	3	3	18	13	31
	$\sigma$	2,4	2,0	2,6	2,6	2,6	0,9	0,0	0,0	0,0	1,8	1,9	2,0	3,8	3,7	5,4
	Наибольшее 1930-2004 гг.	23	19	19	14	21	11	7	9	9	16	21	25	84	44	122
	Год	1930	1942	1951	1960 1963	1957	1949	1935	1935	1949	1939	1940	1938	1934	1940	1934
	Среднее 1930-2004 гг.	11	9	8	6	6	3	1	1	2	4	9	10	47	23	70
	$\sigma$	4,1	4,2	3,6	2,9	3,7	2,2	1,2	1,0	1,5	2,8	4,4	4,0	16,9	10,5	26,6
	Среднее 1931-1960 гг.	14	12	10	8	9	5	2	2	2	7	12	13	61	35	96
	$\sigma$	3,0	3,1	3,2	2,5	3,2	2,1	1,6	1,3	1,6	2,7	3,3	3,3	8,4	6,1	10,2
	Среднее 1961-1990 гг.	9	9	8	6	6	2	1	1	2	3	8	9	43	21	64
Число дней с относительной влажностью воздуха $\geq 80\%$	$\sigma$	3,4	3,9	3,2	2,6	2,9	1,8	0,8	0,8	1,5	2,3	4,5	4,0	16,2	8,2	23,5
	Среднее 1991-2004 гг.	6	3	3	3	1	1	0	0	0	2	4	6	22	7	29
	$\sigma$	2,7	1,7	2,0	2,0	1,4	0,9	0,0	0,2	0,1	1,5	3,1	2,5	6,1	4,1	6,9

Таблица 2.22

## Число дней с относительной влажностью воздуха ≤30 %

Показатели	I	II	III	IV	V	VI	VII	VIII	IX	X	XI	XII	Холодный пе- риод (XI-III)	Теплый пе- риод (IV-X)	Год
Наибольшее 1930-2004 гг.	7	6	9	10	9	10	11	16	12	6	6	6	16	48	61
Год	1977	1972	1943	1948	2002	1947	1939	1971	1975	1966 1992	1982	1932	1972	1975	1975
Среднее 1930-2004 гг.	1	1	2	3	2	2	3	3	2	1	1	1	6	16	22
σ	1,0	1,0	1,7	1,9	2,0	1,6	2,4	2,5	1,5	1,1	1,0	1,2	2,8	6,5	7,7
Среднее 1931-1960 гг.	1	1	2	3	2	2	2	3	2	1	1	1	6	15	21
σ	0,8	1,0	1,6	1,8	1,9	1,7	2,2	1,8	1,4	0,6	0,9	1,0	2,1	5,6	6,0
Среднее 1961-1990 гг.	2	2	2	3	3	2	3	4	2	2	1	1	8	19	27
σ	1,3	1,0	1,7	2,3	2,1	1,6	2,2	3,2	1,8	1,1	1,2	1,3	3,6	8,0	10,0
Среднее 1991-2004 гг.	1	1	2	2	3	1	3	3	1	3	1	1	6	16	22
σ	0,7	1,0	1,7	1,1	2,1	1,5	2,8	2,5	0,9	1,3	1,0	1,2	2,3	5,1	5,9

Таблица 2.23

## Средний месячный и годовой дефицит влажности воздуха (г/Па)

Показатели	I	II	III	IV	V	VI	VII	VIII	IX	X	XI	XII	Холодный пе- риод (XI-III)	Теплый Период (IV-X)	Год
Средний за 1930-2004 гг.	1,9	2,1	2,7	4,5	6,3	9,3	12,8	12,8	8,8	5,0	3,0	2,3	2,4	8,5	6,0
σ	0,3	0,4	0,5	1,0	1,2	1,7	2,0	2,1	1,4	0,7	0,5	0,4	0,3	0,8	0,5
Средний за 1931-1960 гг.	1,8	1,9	2,6	4,3	5,8	9,1	12,3	12,3	9,0	4,8	2,8	2,3	2,3	8,2	5,8
σ	0,4	0,5	0,6	0,9	1,3	1,7	2,3	2,0	1,6	0,8	0,4	0,4	0,3	1,0	0,6
Средний за 1961-1990 гг.	2,0	2,1	2,7	4,7	6,5	9,7	12,8	12,8	8,8	5,1	3,0	2,4	2,4	8,6	6,1
σ	0,3	0,3	0,5	1,0	1,0	1,8	1,6	2,0	1,3	0,6	0,4	0,3	0,2	0,7	0,4
Средний за 1991-2004 гг.	1,8	2,1	2,7	4,3	6,8	8,6	13,6	12,8	8,0	4,9	2,9	2,1	2,3	8,4	5,9
σ	0,3	0,3	0,4	0,9	1,4	1,5	2,3	2,6	1,1	0,6	0,4	0,3	0,2	0,8	0,5
Максимальный за 1930-2004 гг.	3,2	3,6	4,1	7,6	10,7	14,9	18,9	18,0	13,7	7,4	4,3	3,6	3,1	11,1	7,6
Год	1932	1932	1983	1950	1968	1975	2001	2001	1975	1966	1938	1959	1990	1975	1975
Минимальный за 1930-2004 гг.	1,0	1,0	1,3	2,2	2,7	5,8	6,9	7,3	5,2	2,7	1,6	1,1	1,4	5,2	3,5
Год	1933 1937 1996	1954 1987	1987 1935	1957	1987	1933	1934	1996	1933	1935 1968	1938	1935	1933	1933	1935

Таблица 2.24

## Месячное и годовое количество осадков, (мм)

Период	Показатель	I	II	III	IV	V	VI	VII	VIII	IX	X	XI	XII	Холодный период (XII-III)	Теплый период (IV-XI)	Год
1930-2004 гг.	Наибольшее	185	158	165	129	107	133	98	207	352	193	174	206	551	566	1009
	Год	2004	1955	1987	1965	1957	1983	1982 2004	1939	1968	2002	1955	1940	1940	1997	1939
	Среднее	75	63	47	32	33	40	32	35	42	45	66	79	330	259	589
	$\sigma$	38,1	23,9	23,0	20,0	17,9	20,8	20,9	22,5	34,9	26,9	30,5	36,6	77,2	69,2	113,1
	Наименьшее	12	10	6	0	1	2	0	0	0	1	2	4	151	112	311, 314
	Год	1965 1993	2002	1943	1952 1968 1971	1947	1946	2000	1943 1956 1957	1994	1993	1982	1956	1994	1948	1993, 1975
1931-1960 гг.	Наибольшее	181	158	123	59	107	98	94	207	99	131	174	206	551	523	1009
	Год	1938	1955	1940	1938	1957	1954	1949	1939	1939	1944	1955	1940	1940	1939	1939
	Среднее	80	65	44	25	33	39	33	32	32	48	74	77	340	242	582
	$\sigma$	37,5	22,2	22,2	14,4	17,2	23,9	22,3	24,4	25,7	28,0	27,7	39,2	72,5	68,9	96,2
	Наименьшее	15	17	6	0	1	2	1	0	1	3	11	4	192	112	362
	Год	1932	1931	1943	1952	1947	1946	1937	1943	1954	1949	1949	1956	1949	1948	1953
1961-1990 гг.	Наибольшее	182	123	165	129	81	133	98	79	352	90	167	191	521	546	982
	Год	1967	1985	1987	1965	1970	1983	1982	1970	1968	1990	1965	1962	1967	1968	1968
	Среднее	72	63	49	37	32	41	31	30	50	37	62	82	328	258	586
	$\sigma$	38,5	20,4	24,3	24,7	18,4	21,3	19,0	18,0	42,0	21,0	31,9	34,5	81,4	57,3	108,7
	Наименьшее	12	24	9	0	3	3	4	1	1	4	2	7	191	147	314
	Год	1965	1987	1976	1971	1968	1975	1986	1962	1965	1964	1982	1972	1973	1961	1975
1991-2004 гг.	Наибольшее	185	118	122	80	76	83	98	185	157	193	125	193	443	566	949
	Год	2004	2003	1997	1997	2004	1992	2004	1997	1996	2002	1994	1999	2003	1997	1997
	Среднее	71	60	53	39	36	37	34	51	47	55	58	80	322	299	621
	$\sigma$	38,6	34,3	21,4	19,7	19,0	14,8	23,0	29,8	37,1	37,6	32,3	34,4	74,1	91,1	141,7
	Наименьшее	12	10	17	7	2	15	0	8	0	1	8	23	151	128	311
	Год	1993	2002	2004	2004	2003	1994	2000	2003	1994	1993	1993	2003	1994	1994	1993

Таблица 2.25

## Среднее число дней с различным количеством осадков

Количество осадков, мм	Годы	Месяцы												Холодный период (XI-III)	Теплый период (IV-X)	Год
		I	II	III	IV	V	VI	VII	VIII	IX	X	XI	XII			
$\geq 1$	1930-2004 гг.	10,5	9,2	7,6	5,1	5,5	5,5	3,7	4,2	4,0	5,5	8,3	9,9	45,5	33,5	79,0
	1931-1960 гг.	11,1	10,0	7,4	4,6	5,2	5,1	3,4	3,5	3,2	6,0	9,3	9,7	47,5	31,0	78,5
	1961-1990 гг.	10,2	9,1	7,3	4,9	5,5	5,3	3,9	4,1	4,3	4,6	7,9	10,3	44,8	32,6	77,4
	1991-2004 гг.	9,8	8,1	8,5	6,6	6,1	6,8	4,1	5,7	5,0	6,4	7,3	9,5	43,2	40,7	83,9
$\geq 5$	1930-2004 гг.	4,8	4,1	2,9	2,0	1,9	2,2	1,6	2,0	2,1	2,5	4,0	4,7	20,5	14,3	34,8
	1931-1960 гг.	5,3	4,3	2,8	1,4	1,9	2,1	1,6	1,8	1,7	2,7	4,4	4,7	21,5	13,2	34,7
	1961-1990 гг.	4,4	3,9	2,7	2,3	1,5	2,1	1,9	1,8	2,4	2,0	3,6	5,2	19,8	14,0	33,8
	1991-2004 гг.	4,1	3,8	3,6	2,7	2,1	2,5	1,6	2,7	2,4	2,9	3,6	4,3	19,4	16,9	36,3
10,1-20,0	1930-2004 гг.	1,8	1,3	1,0	0,8	0,6	0,7	0,5	0,6	0,6	0,8	1,4	1,8	7,3	4,6	11,9
	1931-1960 гг.	2,1	1,6	0,8	0,6	0,6	0,7	0,5	0,6	0,4	1,0	1,5	1,6	7,6	4,4	12,0
	1961-1990 гг.	1,8	1,2	1,0	0,8	0,6	0,8	0,6	0,4	0,8	0,6	1,1	1,9	7,0	4,6	11,6
	1991-2004 гг.	1,4	1,1	1,2	1,1	0,8	0,6	0,3	1,3	0,7	0,9	1,6	1,9	7,2	5,7	12,9
>20,0	1930-2004 гг.	0,5	0,4	0,3	0,2	0,3	0,4	0,5	0,4	0,5	0,5	0,7	0,8	2,7	2,8	5,5
	1931-1960 гг.	0,5	0,4	0,2	0,1	0,3	0,4	0,5	0,2	0,4	0,5	0,9	0,8	2,8	2,4	5,2
	1961-1990 гг.	0,5	0,4	0,5	0,4	0,3	0,4	0,4	0,4	0,6	0,4	0,7	0,7	2,8	2,9	5,7
	1991-2004 гг.	0,6	0,5	0,4	0,0	0,2	0,1	0,5	0,6	0,6	0,6	0,5	0,8	2,8	2,6	5,4

Таблица 2.26

## Наибольшее суточное количество осадков (мм) по месяцам и за год

Показатель	Месяц												Год
	I	II	III	IV	V	VI	VII	VIII	IX	X	XI	XII	
1930-2004 гг.	61	54	46	40	42	64	70	158	240	61	52	69	240
Год	1958 1967	1992 1987	1987 1969	1959 1963	1983 2004	2004 1939	1939 1968	1968 1990	1990 1990	1937 1958	1962 1999	1968 1968	1968
1931-1960 гг	61	47	43	30	42	61	51	158	92	50	52	47	158
Год	1958	1955	1940	1938	1959	1943	1949	1939	1950	1934	1958	1942	1939
1961-1990 гг	61	48	46	40	42	64	59	35	240	61	52	69	240
Год	1967	1990	1987	1969	1963	1983	1982	1979	1968	1990	1981	1962	1968
1991-2004 гг	57	54	30	19	34	35	70	43	48	47	34	69	70
Год	2003	1992	2003	2001	2004	1992	2004	1998	1996	1997	1997	1999	2004

Таблица 2.27

## Число случаев очень сильных дождей с суточным количеством осадков различной величины

Годы	Количество осадков, мм						
	$\geq 30$	$\geq 50$	$\geq 100$	$\geq 150$	$\geq 200$	$\geq 250$	$\geq 285$
1930-1940	20	4	2	1	-	-	-
1941-1950	9	2	-	-	-	-	-
1951-1960	15	2	-	-	-	-	-
1961-1970	16	6	1	1	1	1	1
1971-1980	15	2	-	-	-	-	-
1981-1990	21	3	-	-	-	-	-
1991-2000	19	3	-	-	-	-	-
2001-2004	8	-	-	-	-	-	-
1930-2004	123	22	3	2	2	1	1

Таблица 2.28

Средняя из максимальных высот снежного покрова ( $h_{cp}$ ), абсолютная высота снежного покрова ( $h_{max}$ ), среднее ( $n_{cp}$ ) и максимальное ( $n_{max}$ ) количество дней со снежным покровом за декаду

Показатель	Ноябрь			Декабрь			Январь			Февраль			Март		
	I	II	III	I	II	III	I	II	III	I	II	III	I	II	III
$h_{cp}$ (см)*	2,0	4,4	6,5	4,2	6,5	6,3	7,3	8,1	10,5	9,1	7,6	8,1	7,9	7,5	5,8
$h_{max}$ (см)	2	9	20	11	22	31	31	30	48	45	31	56	48	38	20
$n_{cp}$	0,0	0,1	0,2	0,3	0,8	1,3	1,5	1,9	2,3	2,3	2,0	1,6	1,3	0,6	0,3
$n_{max}$	1	2	5	8	9	7	10	10	11	10	10	9	9	10	7

\*  $h_{cp}$  вычислена за дни со снежным покровом

Таблица 2.29

## Повторяемость (%) направления ветра и штилей (1931-2004 гг.)

Месяц	С	ССВ	СВ	ВСВ	В	ВЮВ	ЮВ	ЮЮВ	Ю	ЮЮЗ	ЮЗ	ЗЮЗ	З	ЗСЗ	СЗ	ССЗ	ЗАИШЬЕ
I	4,3	7,9	34,3	6,3	4,0	1,6	1,8	0,8	1,4	2,3	11,4	7,2	6,2	3,3	5,4	1,9	10,2
II	3,3	5,6	31,6	7,4	4,3	1,5	2,2	1,1	1,9	3,0	13,5	7,0	6,8	3,3	6,0	1,5	10,7
III	3,3	5,4	31,6	9,4	6,1	2,2	2,7	1,3	2,4	3,6	11,7	5,6	6,0	2,9	4,6	1,4	12,3
IV	2,9	4,6	28,0	11,2	7,7	2,5	3,4	1,7	3,1	4,3	12,5	5,6	4,9	2,4	3,8	1,4	14,0
V	3,6	4,6	24,7	11,0	7,0	2,7	4,6	1,8	3,6	5,3	13,3	5,8	4,3	2,5	3,7	1,7	13,5
VI	4,7	5,2	22,2	8,6	6,9	2,9	4,4	2,2	4,1	5,4	13,4	5,8	4,3	2,7	5,1	2,1	12,9
VII	5,4	5,8	20,4	9,0	6,1	2,8	4,5	1,8	3,6	5,9	12,7	5,8	4,6	3,1	5,7	2,9	13,0
VIII	6,0	5,8	25,5	8,7	6,4	3,1	3,7	1,7	3,5	5,7	11,5	3,7	3,5	2,4	5,7	3,1	12,3
IX	5,4	6,5	28,1	9,6	5,7	2,9	3,9	2,3	2,8	4,5	8,8	4,2	4,6	2,7	5,1	3,0	12,9
X	4,9	7,4	31,1	8,7	5,4	2,5	3,0	1,4	2,2	3,3	9,3	4,3	5,1	3,1	6,0	2,4	12,4
XI	4,9	7,4	33,0	7,6	5,2	1,8	2,8	1,2	1,4	2,3	10,1	5,7	6,1	3,1	5,5	2,0	11,5
XII	4,4	8,5	29,7	6,8	3,5	1,2	1,9	0,8	1,4	1,9	12,0	7,7	7,6	4,0	6,1	2,5	10,5
Год	4,4	6,2	28,4	8,7	5,7	2,3	3,2	1,5	2,6	4,0	11,7	5,7	5,3	3,0	5,2	2,2	12,2

Таблица 2.30

## Средняя месячная, годовая скорость ветра (м/с) и их среднее квадратичное отклонение

Период	I	II	III	IV	V	VI	VII	VIII	IX	X	XI	XII	Год
1931-1980, 1997-2004 гг.	3,5	3,4	3,4	3,0	2,7	2,5	2,5	2,7	2,9	3,0	3,1	3,4	3,0
$\sigma$	0,7	0,7	0,7	0,5	0,5	0,4	0,3	0,4	0,5	0,5	0,5	0,6	0,5

Таблица 2.31

**Средняя месячная и годовая скорость ветра (м/с) различных направлений  
(1931-1980, 1997-2004 гг.)**

Месяц	C	CCB	CB	BCB	B	ВЮВ	ЮВ	ЮЮВ	Ю	ЮЮЗ	ЮЗ	ЗЮЗ	З	ЗСЗ	СЗ	CC3
I	2,0	2,8	4,5	3,6	2,2	2,0	2,2	1,8	1,6	2,8	5,0	4,7	3,8	4,3	3,5	2,4
II	2,1	3,0	4,4	3,6	2,4	2,0	2,0	1,7	1,9	2,8	4,8	4,3	3,7	4,1	3,5	2,7
III	1,9	3,0	5,0	4,1	2,8	2,2	2,0	1,8	1,8	2,7	4,1	4,1	3,5	3,7	3,2	2,2
IV	1,9	3,0	4,8	4,2	2,7	2,0	1,8	1,7	1,6	2,2	3,2	3,6	2,9	2,8	2,5	2,0
V	1,6	2,5	4,4	3,9	2,7	1,8	1,7	1,6	1,6	2,0	2,7	3,1	2,8	2,5	2,1	1,8
VI	1,7	2,3	3,6	3,6	2,7	2,1	1,8	1,6	1,7	2,1	2,9	3,2	2,8	2,8	2,2	1,8
VII	1,7	2,3	3,8	4,0	2,8	2,2	1,8	1,9	1,7	2,3	2,7	3,3	3,1	2,8	2,3	2,0
VIII	1,8	2,4	4,2	4,0	2,9	2,3	2,1	1,9	1,8	2,2	2,9	2,9	2,7	2,8	2,3	2,0
IX	1,7	2,6	4,4	4,5	3,0	2,2	2,0	1,9	1,7	2,4	3,3	3,5	3,2	2,9	2,3	1,8
X	1,8	2,7	4,3	4,0	2,8	2,0	2,1	2,0	1,7	2,5	3,8	3,8	3,1	3,3	2,4	2,0
XI	1,9	2,3	4,2	3,3	2,4	1,9	1,9	1,8	1,7	3,0	4,3	4,3	3,5	3,3	2,9	2,0
XII	1,9	2,9	4,2	3,5	2,3	2,1	2,0	1,8	1,8	3,3	4,8	4,8	3,5	3,9	3,4	2,2
Год	1,8	2,7	4,3	3,9	2,6	2,1	1,9	1,8	1,7	2,5	3,7	3,8	3,2	3,3	2,7	2,1

Таблица 2.32

**Число случаев с ветром, скорость которого достигала значения СГЯ**

Годы	Скорость ветра, м/с			
	$\geq 25$	$\geq 30$	$\geq 35$	$\geq 40$
1930-1940	1	1	-	-
1941-1950	5	2	1	1
1951-1960	2	1	1	1
1961-1970	17	10	3	3
1971-1980	30	13	3	3
1981-1990	21	9	3	-
1991-2000	20	7	1	1
2001-2004	10	2	-	-
1930-2004	106	45	12	9

Таблица 2.33

## Максимальные скорость и порывы ветра (м/с)

Показатель	Январь		Февраль		Март		Апрель		Май		Июнь	
	Макси- мальная из сред- них	Макси- мальный по- рыв	Максимал- ьная из средних	Макси- мальный по- рыв	Макси- мальная из средних	Макси- мальный по- рыв	Макси- мальная из сред- них	Макси- мальный по- рыв	Макси- мальная из сред- них	Макси- мальный по- рыв	Макси- мальная из сред- них	Макси- мальный по- рыв
Среднее 1936-2004 гг.	15,5	22,4	13,6	20,6	13,5	21,0	12,3	18,5	11,2	17,1	9,4	14,5
$\sigma$	4,45	6,37	3,24	5,24	3,06	4,33	3,35	4,49	2,76	3,85	1,98	3,55
Максимум	30	40	28	40	28	40	28	40	20	40	16	24
Год	1986	1968 1995	1977	1971 1977	1968	1949 1971	1965	1965 1968	1966 1999	1968	1966 1975	1962

Показатель	Июль		Август		Сентябрь		Октябрь		Ноябрь		Декабрь	
	Максимал- ьная из средних	Макси- мальный по- рыв	Максимал- ьная из средних	Макси- мальный по- рыв	Макси- мальная из средних	Макси- мальный по- рыв	Макси- мальная из сред- них	Макси- мальный по- рыв	Максимал- ьная из средних	Макси- мальный по- рыв	Макси- мальная из сред- них	Макси- мальный по- рыв
Среднее 1936-2004 гг.	9,9	15,0	9,9	15,7	10,6	16,3	12,2	18,9	11,9	18,8	13,7	21,1
$\sigma$	2,16	3,42	2,27	3,48	2,32	3,27	3,24	4,59	3,25	5,24	2,70	4,99
Максимум	16	24	18	25	20	34	28	34	24	40	21	34
Год	1959 1968 1969 1972	1972	1960	1988	1976	1976	1974	1974 1976	1964	1964	1981	1961 1967 1973 1986

Таблица 2.34

**Среднее ( $N_{cp}$ ) и максимальное ( $N_{max}$ ) число дней со скоростью ветра различных градаций**

Скорость ветра, м/с	Январь		Февраль		Март		Апрель		Май		Июнь		Июль		Август		Сентябрь		Октябрь		Ноябрь		Декабрь	
	$N_{cp}$	$N_{max}$																						
<10	16,6	27	13,4	18	17,3	24	16,3	22	19,5	26	20,3	26	19,9	27	20,4	26	19,0	24	18,8	27	16,1	25	14,5	23
10-14	8,7	16	10,1	13	9,8	16	10,7	17	9,2	16	8,0	14	9,2	14	9,2	14	8,5	14	8,7	20	9,4	16	10,7	18
15-20	3,9	8	3,5	8	2,9	6	2,6	9	1,8	4	1,7	7	1,7	7	1,1	4	2,2	6	2,9	10	4,0	9	4,2	8
21-24	1,3	6	0,3	2	0,7	2	0,3	2	0,4	2	0,0	1	0,1	1	0,2	1	0,3	2	0,4	3	0,1	1	1,0	5
25-28	0,3	1	0,5	2	0,1	1	0,1	1	0,0	1	0,0	0	0,0	0	0,0	1	0,0	0	0,1	1	0,2	1	0,4	3
29-34	0,2	2	0,2	2	0,1	1	0,0	1	0,0	1	0,0	0	0,0	0	0,0	0	0,0	0	0,1	1	0,1	1	0,1	1
35-40	0,1	1	0,0	0	0,0	0	0,0	0	0,0	0	0,0	0	0,0	0	0,0	0	0,0	0	0,0	0	0,0	1	0,0	0
41-50	0,0	0	0,0	0	0,0	0	0,0	0	0,0	0	0,0	0	0,0	0	0,0	0	0,0	0	0,0	0	0,0	0	0,0	0

Таблица 2.35

**Максимальная скорость из средних и порывы ветра (м/с) по анеморумбометру 1978-2004 гг.**

Показатель	Январь		Февраль		Март		Апрель		Май		Июнь		Июль		Август		Сентябрь		Октябрь		Ноябрь		Декабрь	
	A	B	A	B	A	B	A	B	A	B	A	B	A	B	A	B	A	B	A	B	A	B	A	B
Среднее	13,6	24,4	12,6	22,7	12,0	21,9	10,5	19,5	10,1	19,1	8,1	16,3	8,4	16,5	8,6	17,1	9,1	17,6	10,5	21,0	10,5	20,5	13,0	24,1
$\sigma$	3,26	5,23	2,81	4,84	2,04	3,64	2,06	3,21	2,01	3,19	1,12	2,00	1,57	2,65	1,21	3,08	1,46	2,98	2,05	3,67	2,58	4,35	2,57	3,76
Максимум	30	40	21	34	18	30	19	29	20	32	11	22	12	22	12	25	14	24	15	30	22	38	21	34
Год	1986	1995	2004	1981	2001	1983	1983	1987	1987	1999	1999	1995	1978	1985	1978	1995	1988	1983	1983	1992	1984	1981	1981	1986

Примечание: А – Максимальная скорость ветра из средних, м/с; В – Максимальный порыв, м/с

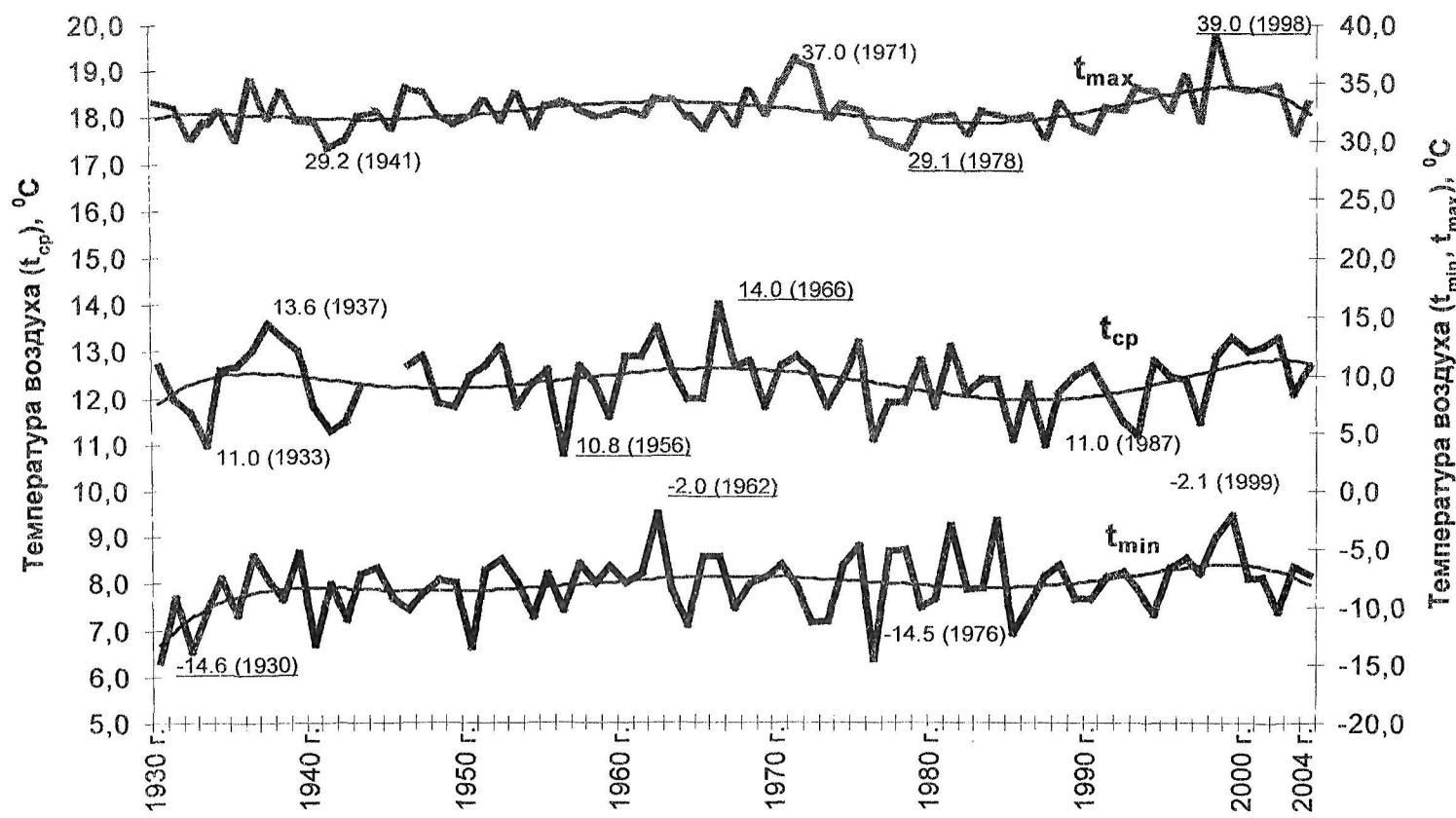
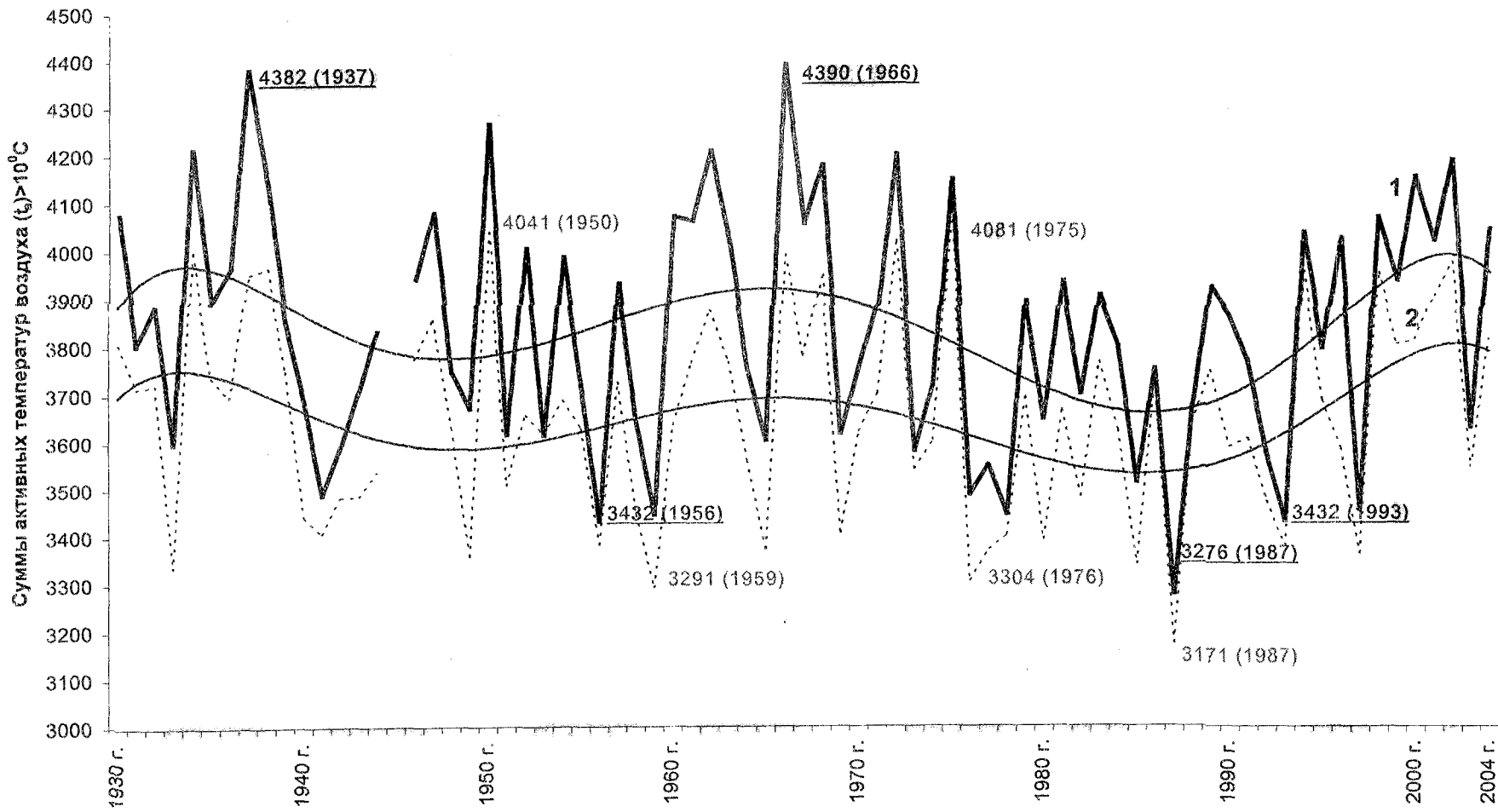


Рис. 1. Температура воздуха ( $^{\circ}\text{C}$ ) за последние 75 лет в районе агрометеостанции "Никитский сад"  
 $t_{cp}$ ,  $t_{max}$ ,  $t_{min}$  - средняя, абсолютный максимум и абсолютный минимум температуры воздуха за год



**Рис.2. Суммы активных температур воздуха  $>10^{\circ}\text{C}$  за последние 75 лет в районе агрометеостанции  
"Никитский сад"**

1 и 2 - сумма активных температур воздуха  $t_a>10^{\circ}\text{C}$  нарастающим итогом на конец года и на 31.Х

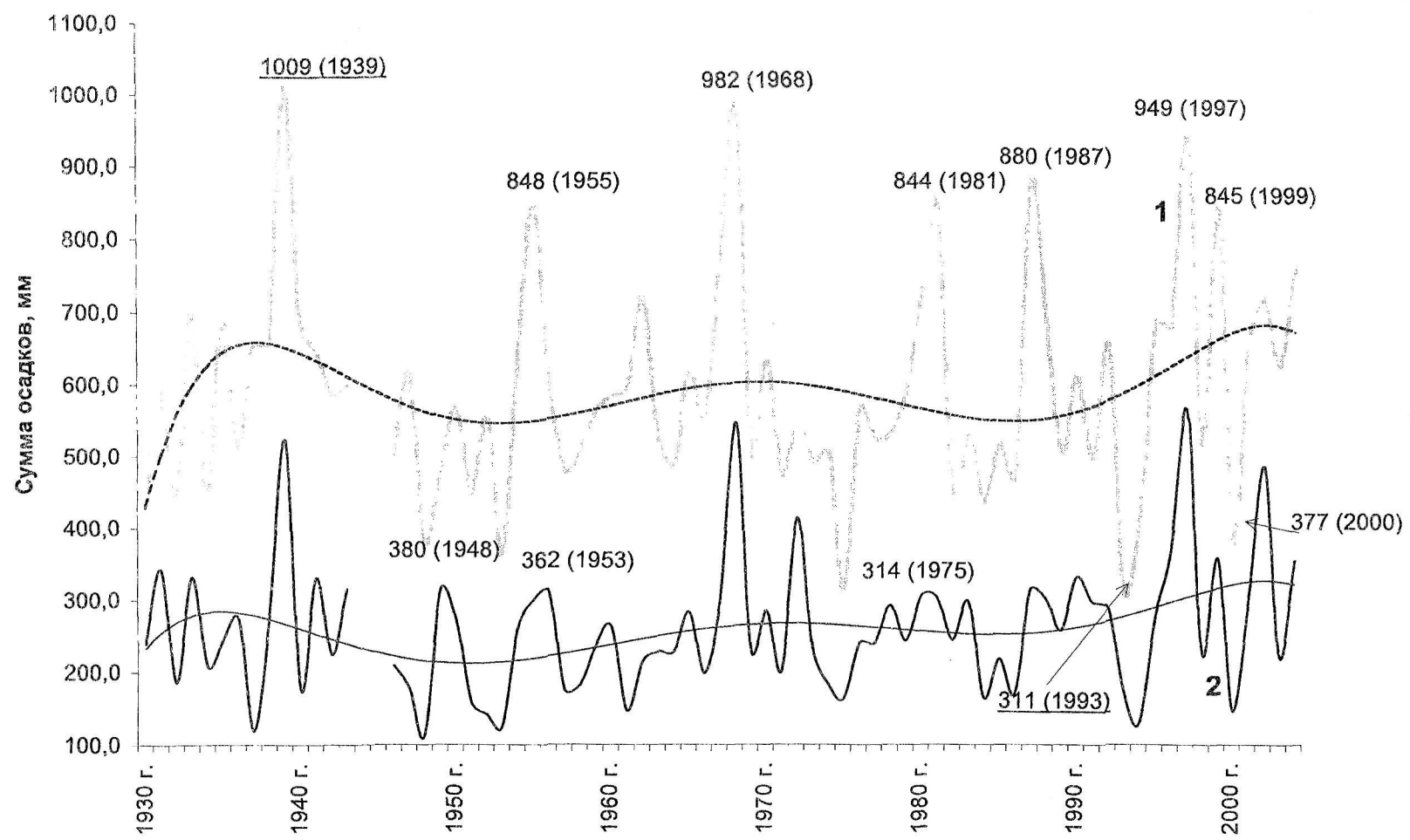


Рис. 3. Суммы осадков (мм) за последние 75 лет в районе агрометеостанции "Никитский сад"  
1 - сумма осадков за год, 2 - сумма осадков за теплый период (IV-X)

## СПИСОК ЛИТЕРАТУРЫ

1. Амирджанов А.Г. Солнечная радиация и продуктивность виноградника. – Л.: Гидрометеоиздат, 1980. - 200 с.
2. Важов В.И., Фурса В.П. Радиационный режим в районе Никитского ботанического сада. // Бюлл. ГНБС, вып. 1(8). -- Изд-во «Крым», 1969. - С.64-67.
3. Зац Е.Н. Характеристика климатических условий в Никитском ботаническом саду: Труды Никит. Ботан. Сада, 1960. Т.XXXII. С.161-167.
4. Климат и опасные гидрометеорологические явления Крыма /Под ред. К.Г.Логвинова, М.Б.Барабаш – Л.: Гидрометеоиздат, 1982. – 318 с.
5. Краткий агроклиматический справочник Украины / Под ред. К.Т.Логвинова. – Л.: Гидрометеоиздат, 1976. – 256 с.
6. Научно-прикладной справочник по климату СССР. – Л.: Гидрометеоиздат, 1990. - Серия 3. - Вып. 10. - Книга 1: Украинская ССР. – 605 с.
7. Пенюгалов А.В. Климат Крыма. - Крымское гос. издательство, 1930. – 178 с.
8. Судакевич Ю.Е. Микроклиматические характеристики морозоопасности территории Никитского ботанического сада// Труды УкрНИГМИ. – 1958. – Вып. 14. – С.99-110.
9. Тимирязев К.А. Физиология растений как основа рационального земледелия / Избр. соч. – М.: Сельхозиздат, 1948. - Т.2. - С.41-86.
10. Тооминг Х.Г. Солнечная радиация и формирование урожая. – Л.: Гидрометеоиздат, 1977. – 200 с.
11. Фурса Д.И. Погода, орошение и продуктивность винограда. – Л.: Гидрометеоиздат, 1986. – 200 с.
12. Фурса Д.И., Фурса В.П. Агроклиматическая характеристика района агрометеостанции Никитский сад. - Минск: НПЭЦ «Верас-Эко», 1992. – 41 с.
13. Фурса Д.И., Корсакова С.Н., Фурса В.П. Агроклиматическая характеристика морозоопасности территории Никитского ботанического сада по данным агрометеостанции «Никитский сад» за 1930-2000 гг.//Труды Никит. Ботан. Сада, 2004. – Т.124. – С.113-121.

Наукове видання

Д.И.Фурса, С.П.Корсакова, А.Г.Амирджанов, В.П.Фурса  
РАДИАЦИОННЫЙ И ГИДРОТЕРМИЧЕСКИЙ РЕЖИМ ЮЖНОГО БЕРЕГА КРЫМА  
ПО ДАННЫМ АГРОМЕТЕОСТАНЦИИ «НИКИТСКИЙ САД» ЗА 1930-2004 гг.  
И ЕГО УЧЕТ В ПРАКТИКЕ ВИНОГРАДАРСТВА  
(російською мовою)

Підписано до друку 27.06.2006  
Формат 60x84 1/8  
Обсяг 4,8 д.а. Наклад 100. Замовлення 45  
98600, Ялта, вул. Кірова, 31, НІВіВ «Магарач»